

TLV902xL-Q1 和 TLV903xL-Q1 精密自锁比较器系列

1 特性

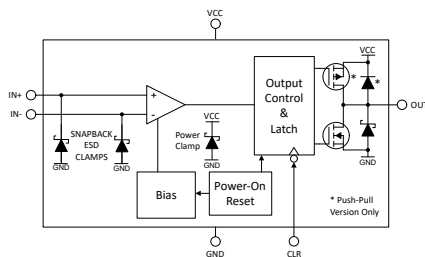
- 符合汽车应用要求
- 具有符合 AEC-Q100 标准的下列特性：
 - 器件温度等级 1：-40°C 至 125°C 环境温度范围
 - 器件 HBM ESD 分类等级 2
 - 器件 CDM ESD 分类等级 C6
- 具有下降沿触发清除功能的输出自锁
- 用于已知启动的上电复位 (POR)
- 可选启动状态：
 - 上电时未自锁 (L1 选项)
 - 上电时自锁 (L2 选项)
- 电源电压范围：1.65V 至 5.5V
- 精密输入失调电压：300 μ V
- 具有容错能力的轨至轨输入
- 典型传播延迟：110ns
- 低静态电流：每通道 22 μ A
- 开漏输出选项 (TLV902xL-Q1)
- 推挽输出选项 (TLV903xL-Q1)

2 应用

- 远程信息处理 eCall
- 汽车音响主机
- 仪表组
- 车载充电器 (OBC) 和无线充电器

3 说明

TLV902xL-Q1 和 TLV903xL-Q1 是汽车级单通道和双通道自锁比较器系列。该系列还提供低输入失调电压，上电复位 (POR) 和容错的轨到轨输入。这些器件具有出色的速度功率组合，传播延迟为 110ns，每个通道的静态电源电流仅为 22 μ A。



简化版方框图

TLV90xxL-Q1 的独特特性是输出自锁能力。输出会在首次跨越阈值时自锁，以便在没有系统控制器完全关注的情况下捕获事件或错误状态。此功能允许在系统控制器仍在初始化或忙于其他任务期间时捕获启动期间的事件。借助下降沿触发的清除输入，系统控制器可以在执行任何所需的任务后复位自锁，并满足安全关键要求。L1 和 L2 选项定义了上电自锁行为。

这些比较器还具有容错输入，容错输入电压可升至 6V 而不会造成损坏，也不会产生输出相位反转。此功能使该系列的比较器适合在恶劣的嘈杂环境中进行精密电压监测。

TLV902xL-Q1 具有开漏输出，可上拉到低于或超过电源电压，旨在用于多路输出“或” (ORing) 逻辑或电平转换功能。在从高到低输出转换时会发生自锁。

TLV903xL-Q1 具有推挽输出级，能够灌入/拉出高达 85mA 的电流以驱动 MOSFET 栅极等容性负载。在从低到高输出转换时会发生自锁。

该系列具有 -40°C 至 +125°C 的汽车级额定温度范围，可采用标准的引线和无引线封装。

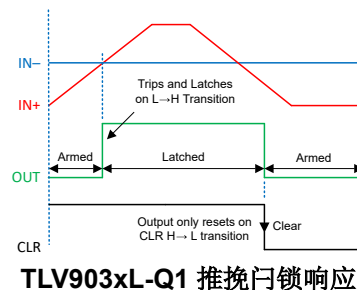
封装信息

器件型号	封装 ⁽¹⁾	封装尺寸 ⁽²⁾
TLV9020Lx-Q1、 TLV9030Lx-Q1 (单通道)	DCL (SC-70, 6) DBV (SOT-23, 6) ⁽³⁾ DSE (WSON, 6) ⁽³⁾	2mm × 2.1mm 2.9mm × 2.8mm 1.5mm × 1.5mm
TLV9022Lx-Q1、 TLV9032Lx-Q1 (双通道)	DGS (VSSOP, 10) ⁽³⁾ RUG (X2QFN, 10)	3mm × 4.9mm 1.5mm × 2mm

(1) 有关更多信息，请参阅节 10。

(2) 封装尺寸 (长 × 宽) 为标称值，并包括引脚 (如适用)。

(3) 产品预发布 (非量产数据)。



TLV903xL-Q1 推挽自锁响应



内容

1 特性	1	6.2 功能方框图.....	15
2 应用	1	6.3 特性说明.....	15
3 说明	1	6.4 器件功能模式.....	16
4 引脚配置和功能	3	7 应用和实施	25
4.1 引脚功能：TLV9020L-Q1 和 TLV9030L-Q1 单通道	3	7.1 应用信息	25
4.2 引脚配置：和双通道	4	7.2 典型应用	26
5 规格	5	7.3 电源相关建议	27
5.1 绝对最大额定值	5	7.4 布局	27
5.2 ESD 等级	5	8 器件和文档支持	28
5.3 建议运行条件	5	8.1 文档支持	28
5.4 热性能信息 - 单通道	6	8.2 接收文档更新通知	28
5.5 热性能信息 - 双通道	6	8.3 支持资源	28
5.6 电气特性	7	8.4 商标	28
5.7 开关特性	8	8.5 静电放电警告	28
5.8 典型特性	9	8.6 术语表	28
6 详细说明	15	9 修订历史记录	28
6.1 概述	15	10 机械、封装和可订购信息	28

4 引脚配置和功能

4.1 引脚功能：TLV9020L-Q1 和 TLV9030L-Q1 单通道

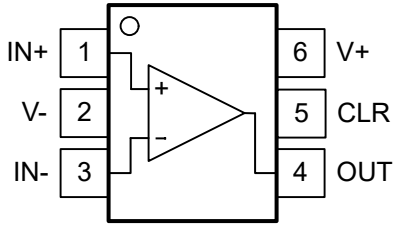


图 4-1. DCK 和 DBV 封装
标准系封装引脚排列
6 引脚 SC-70 和 SOT-23
顶视图

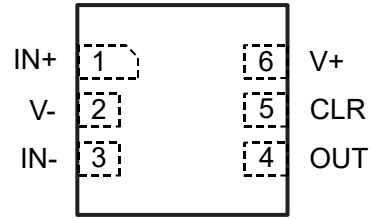


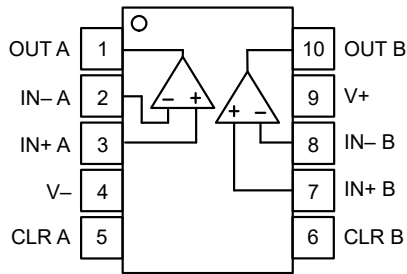
图 4-2. DSE 封装
6 引脚 WSON
俯视图

表 4-1. 引脚功能：TLV9020L-Q1 和 TLV9030L-Q1

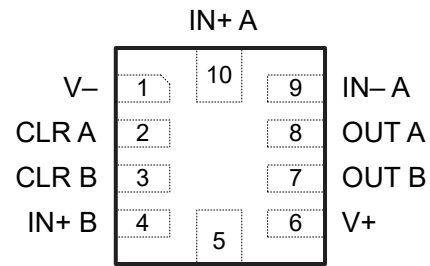
名称	TLV9020L-Q1、TLV9030L-Q1			类型 ⁽¹⁾	说明
	引脚	引脚	引脚		
	SC-70	SOT-23	WSON		
IN+	1	1	1	I	同相 (+) 输入
V-	2	2	2	—	负电源电压
IN-	3	3	3	I	反相 (-) 输入
OUT	4	4	4	O	输出
CLR	5	5	5	I	清除输入 - 在下降沿清除
V+	6	6	6	—	正电源电压

(1) 信号类型：I = 输入，O = 输出

4.2 引脚配置：和 双通道



DGS 封装
10 引脚 VSSOP
俯视图



RUG 封装
10 引脚 X2QFN
顶视图

表 4-2. 引脚功能：TLV9022L-Q1 和 TLV9032L-Q1

名称	TLV9022L-Q1、TLV9032L-Q1		类型 ⁽¹⁾	说明
	引脚	引脚		
	VSSOP	X2QFN		
OUT A	1	8	O	比较器 A 的输出
IN - A	2	9	I	比较器 A 的反相 (-) 输入
IN+ A	3	10	I	比较器 A 的同相输入 (+) 输入
V -	4	1	—	负电源电压
CLR A	5	2	I	清除比较器 A 的输入 - 在下降沿清除
CLR B	6	3	I	清除比较器 B 的输入 - 在下降沿清除
IN+ B	7	4	I	比较器 B 的同相输入 (+)
IN - B	8	5	I	比较器 B 的反相 (-) 输入
V+	9	6	—	正电源电压
OUT B	10	7	O	比较器通道 B 的输出

(1) 信号类型：I = 输入，O = 输出

5 规格

5.1 绝对最大额定值

在自然通风条件下的工作温度范围内测得 (除非另有说明) ⁽¹⁾

	最小值	最大值	单位
电源电压: $V_S = (V+) - (V-)$	-0.3	6	V
(V-) 的输入引脚 (IN+, IN-, CLR) ⁽²⁾	-0.3	6	V
流入输入引脚 (IN+, IN-, CLR) 的电流	-10	10	mA
来自 (V-) 的输出 (OUT) ⁽³⁾	-0.3	6	V
(V-) 的输出 (OUT) (开漏)	-0.3	(V+) + 0.3	V
输出短路持续时间 ⁽⁴⁾		10	s
结温, T_J		150	°C
贮存温度, T_{stg}	-65	150	°C

- 超出绝对最大额定值范围操作可能会导致器件永久损坏。绝对最大额定值并不表示器件在这些条件下或在建议的工作条件以外的任何其他条件下能够正常运行。如果超出建议运行条件但在绝对最大额定值范围内使用, 器件可能不会完全正常运行, 这可能影响器件的可靠性、功能和性能并缩短器件寿命。
- 输入端子被二极管钳制至 (V-)。对于摆幅可能超过 (V-) 0.3V 的输入信号, 必须将其电流限制为 10mA 或者更低。此外, 只要电压在 -0.3V 至 6V 范围内, 输入 (IN+, IN-, CLR) 就可以大于 (V+) 和 OUT
- 开漏输出 (OUT) 可以大于 (V+)
- 对 (V-) 或 (V+) 短路。

5.2 ESD 等级

		值	单位
$V_{(ESD)}$	静电放电	人体放电模型 (HBM), 符合 AEC Q100-002 ⁽¹⁾	±2000
		充电器件模型 (CDM), 符合 AEC Q100-0111 标准	±1000

- AEC Q100-002 指示应当按照 ANSI/ESDA/JEDEC JS-001 规范执行 HBM 应力测试。

5.3 建议运行条件

在自然通风条件下的工作温度范围内测得 (除非另有说明)

	最小值	最大值	单位
电源电压: $V_S = (V+) - (V-)$	1.65	5.5	V
通过 (V-) 的输入电压范围 (IN+, IN-, CLR)	-0.2	5.5	V
通过 (V-) 的输入共模电压范围 (IN+, IN-)	-0.2	(V+) + 0.2	V
通过 (V-) 的输出电压范围, 开漏输出	0	5.5	V
输出电压范围, 推挽输出	(V-)	(V+)	V
环境温度, T_A	-40	125	°C

5.4 热性能信息 - 单通道

热指标 ⁽¹⁾		TLV9020L-Q1、TLV9030-Q1			单位
		DBV (SOT-23)	DCK (SC-70)	DSE (WSON)	
		6 引脚	6 引脚	6 引脚	
R _{qJA}	结至环境热阻	181.2	210.5	-	°C/W
R _{qJC(top)}	结至外壳 (顶部) 热阻	99.6	143.9	-	°C/W
R _{qJB}	结至电路板热阻	63.1	64.7	-	°C/W
Y _{JT}	结至顶部特征参数	38.7	46.1	-	°C/W
Y _{JB}	结至电路板特征参数	62.9	64.5	-	°C/W
R _{qJC(bot)}	结至外壳 (底部) 热阻	-	-	-	°C/W

(1) 有关新旧热指标的更多信息，请参阅[半导体](#)和[IC 封装热指标](#)注释。

5.5 热性能信息 - 双通道

热指标 ⁽¹⁾		TLV9022L-Q1、TLV9032-Q1		单位
		DGS (VSSOP)	RUG (X2QFN)	
		10 引脚	10 引脚	
R _{qJA}	结至环境热阻	-	222.8	°C/W
R _{qJC(top)}	结至外壳 (顶部) 热阻	-	94.2	°C/W
R _{qJB}	结至电路板热阻	-	147.1	°C/W
Y _{JT}	结至顶部特征参数	-	3.4	°C/W
Y _{JB}	结至电路板特征参数	-	146.4	°C/W
R _{qJC(bot)}	结至外壳 (底部) 热阻	-	-	°C/W

(1) 有关新旧热指标的更多信息，请参阅[半导体](#)和[IC 封装热指标](#)注释。

5.6 电气特性

$T_A = 25^\circ\text{C}$ 时, V_S (总电源电压) = $(V+) - (V-) = 5\text{V}$, $V_{CM} = (V-)$ (除非另有说明)

参数		测试条件	最小值	典型值	最大值	单位
失调电压						
V_T	输入阈值电压	$V_S = 1.8\text{V}$ 和 5V	-1.75	± 0.3	1.75	mV
V_T	输入阈值电压	$V_S = 1.8\text{V}$ 和 5V , $T_A = -40^\circ\text{C}$ 至 $+125^\circ\text{C}$	-2.25		2.25	
dV_T/dT	输入阈值失调电压漂移	$V_S = 1.8\text{V}$ 和 5V , $T_A = -40^\circ\text{C}$ 至 $+125^\circ\text{C}$		± 0.5		$\mu\text{V}/^\circ\text{C}$
电源						
I_Q	静态电流 (每个比较器)	$V_S = 1.8\text{V}$ 和 5V , 无负载, 低输出		22	30	μA
I_Q	静态电流 (每个比较器)	$V_S = 1.8\text{V}$ 和 5V , 无负载, 低输出, $T_A = -40^\circ\text{C}$ 至 $+125^\circ\text{C}$			42	
V_{POR} (postive)	上电复位电压			1.25		V
PSRR	电源抑制比	$V_S = 1.8\text{V}$ 至 5V , $T_A = -40^\circ\text{C}$ 至 $+125^\circ\text{C}$ (仅推挽)	75	95		dB
PSRR	电源抑制比	$V_S = 1.8\text{V}$ 至 5V , $T_A = -40^\circ\text{C}$ 至 $+125^\circ\text{C}$ (仅开漏)	80	95		dB
输入偏置电流						
I_B	输入偏置电流	$V_{CM} = V_S/2$		5		pA
I_{OS}	输入失调电流	$V_{CM} = V_S/2$		1		pA
输入电容						
C_{ID}	输入电容, 差分	$V_{CM} = V_S/2$		2		pF
C_{IC}	输入电容, 共模	$V_{CM} = V_S/2$		3		pF
输入电压范围						
V_{IH_CLR}	CLR 的电压输入高阈值		1.2			V
V_{IL_CLR}	CLR 的电压输入低阈值				0.6	V
V_{CM_Range}	共模电压范围	$V_S = 1.8\text{V}$ 和 5V , $T_A = -40^\circ\text{C}$ 至 $+125^\circ\text{C}$	$(V-) - 0.2$		$(V+) + 0.2$	V
CMRR	共模抑制比	$V_S = 5\text{V}$, $(V-) - 0.2\text{V} < V_{CM} < (V+) + 0.2\text{V}$, $T_A = -40^\circ\text{C}$ 至 $+125^\circ\text{C}$	60	70		dB
CMRR	共模抑制比	$V_S = 1.8\text{V}$, $(V-) - 0.2\text{V} < V_{CM} < (V+) + 0.2\text{V}$, $T_A = -40^\circ\text{C}$ 至 $+125^\circ\text{C}$	50	60		dB
输出						
V_{OL}	(V-) 的电压摆幅	$I_{SINK} = 4\text{mA}$, $T_A = 25^\circ\text{C}$		75	125	mV
V_{OL}	(V-) 的电压摆幅	$I_{SINK} = 4\text{mA}$, $T_A = -40^\circ\text{C}$ 至 $+125^\circ\text{C}$			175	mV
V_{OH}	(V+) 的电压摆幅	$I_{SOURCE} = 4\text{mA}$, $T_A = 25^\circ\text{C}$ (仅推挽)		75	125	mV
V_{OH}	(V+) 的电压摆幅	$I_{SOURCE} = 4\text{mA}$, $T_A = -40^\circ\text{C}$ 至 $+125^\circ\text{C}$ (仅推挽)			175	mV
I_{LKG}	开漏输出漏电流	$V_{PULLUP} = (V+)$, $T_A = 25^\circ\text{C}$		100		pA
I_{SC}	短路电流	$V_S = 5\text{V}$, 灌入	75	85		mA
I_{SC}	短路电流	$V_S = 5\text{V}$, 拉出 (仅推挽)	75	85		mA

5.7 开关特性

$V_S = 5V$, $CLR = 5V_{PP}$, $V_L = 0V$, $V_H = 5V$, 2.5V 直流失调电压, $V_{CM} = V_S/2$, $C_L = 15pF$ ($T_A = 25^\circ C$ (除非另有说明))

参数		测试条件	最小值	典型值	最大值	单位
输出						
T_{PD-HL}	传播延迟时间, 高电平到低电平, 仅开漏	$V_{ID} = -100mV$, $CLR = 0V$, 从输入中点到输出中点的延迟 ($R_P = 2.5K\Omega$)		110		ns
T_{PD-LH}	传播延迟时间, 低电平到高电平, 仅推挽	$V_{ID} = +100mV$, $CLR = 0V$, 从输入中点到输出中点的延迟		125		ns
$T_{PD-CLR-F}$	清除下降至闩锁复位传播延迟时间	$CLR = 1.8V$ 至 $5V$, 从 CLR 下降沿信号到未闩锁输出条件的延迟		25	70	ns
CLR_{Min}	触发闩锁器禁用和转换输出状态的最小清除保持脉冲时间	$CLR = 1.8V$ 至 $5V$, 在 CLR 下降沿触发状态变化 (闩锁复位) 所需的最小 CLR 脉冲大小	10			ns
T_{FALL}	5V 输出下降时间, 80% 至 20%	$V_{ID} = -100mV$		3		ns
T_{RISE}	5V 输出上升时间, 20% 至 80%	$V_{ID} = +100mV$ (仅推挽)		3		ns
上电时间						
P_{ON}	上电时间			35		μs

5.8 典型特性

$T_A = 25^\circ\text{C}$, $V_S = 5\text{V}$, $R_{PULLUP} = 5.1\text{k}$ 至 5V (仅限推挽), $C_L = 15\text{pF}$, $V_{CM} = 0\text{V}$, $V_{UNDERDRIVE} = 100\text{mV}$, $V_{OVERDRIVE} = 100\text{mV}$ (除非另有说明)。

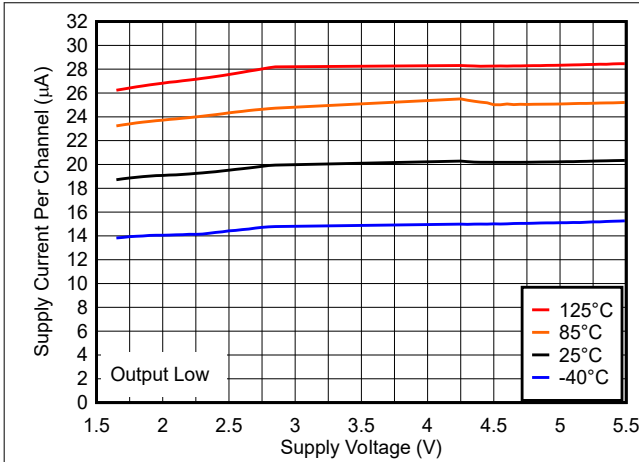


图 5-1. 电源电流与电源电压间的关系

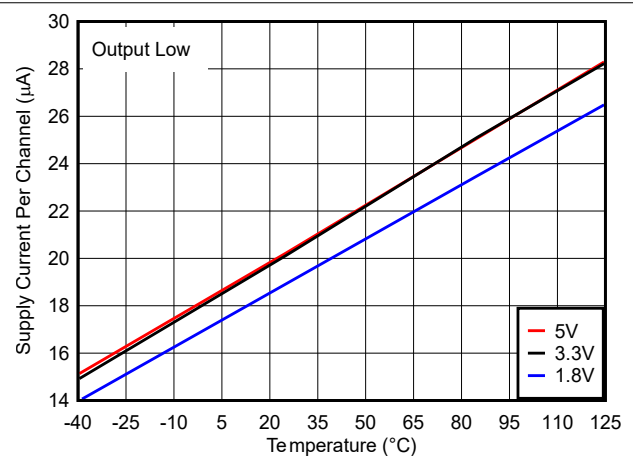


图 5-2. 电源电流与温度间的关系

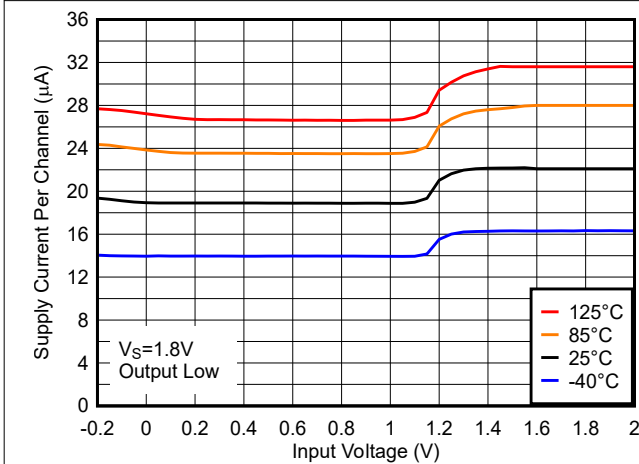


图 5-3. 电源电流与输入电压间的关系, 1.8V

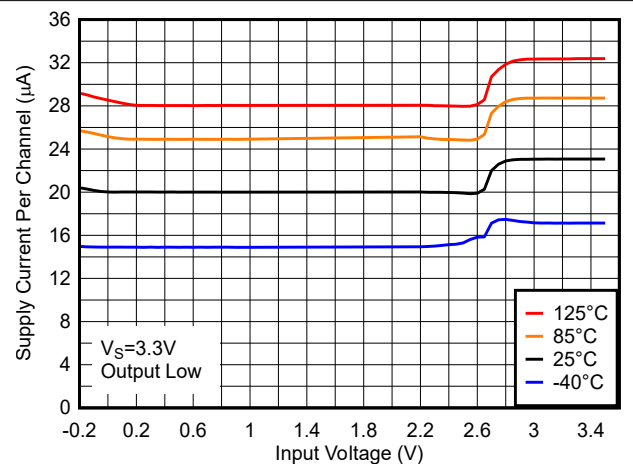


图 5-4. 电源电流与输入电压间的关系, 3.3V

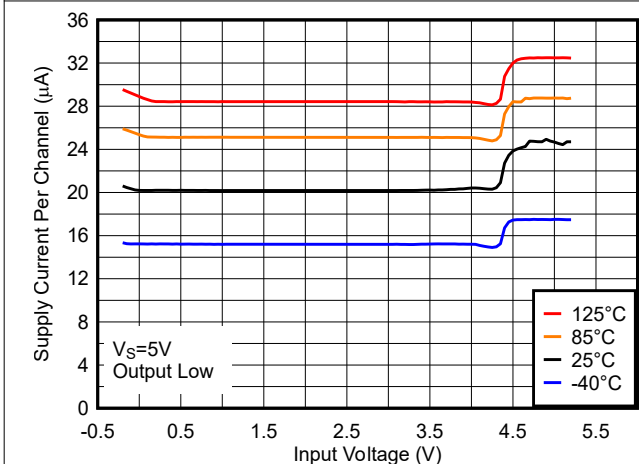


图 5-5. 电源电流与输入电压间的关系, 5V

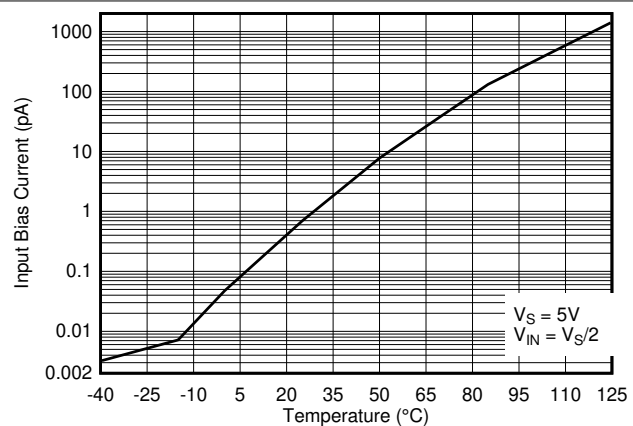


图 5-6. 输入偏置电流与温度间的关系

5.8 典型特性 (续)

$T_A = 25^\circ\text{C}$, $V_S = 5\text{V}$, $R_{PULLUP} = 5.1\text{k}$ 至 5V (仅限推挽), $C_L = 15\text{pF}$, $V_{CM} = 0\text{V}$, $V_{UNDERDRIVE} = 100\text{mV}$, $V_{OVERDRIVE} = 100\text{mV}$ (除非另有说明)。

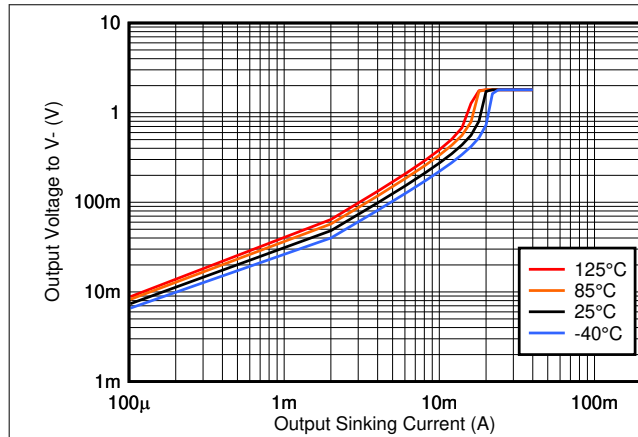


图 5-7. 输出灌电流与输出电压间的关系, 1.8V

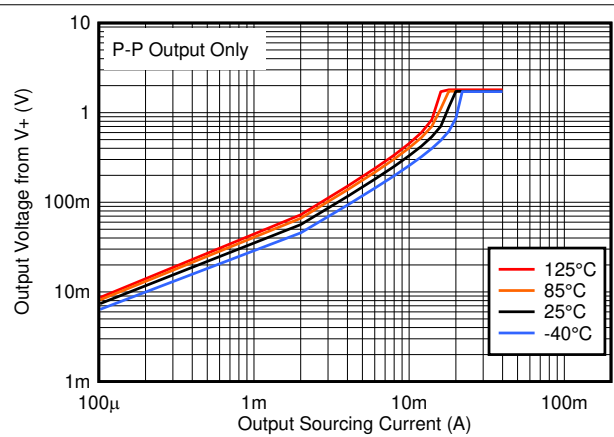


图 5-8. 输出拉电流与输出电压间的关系, 1.8V

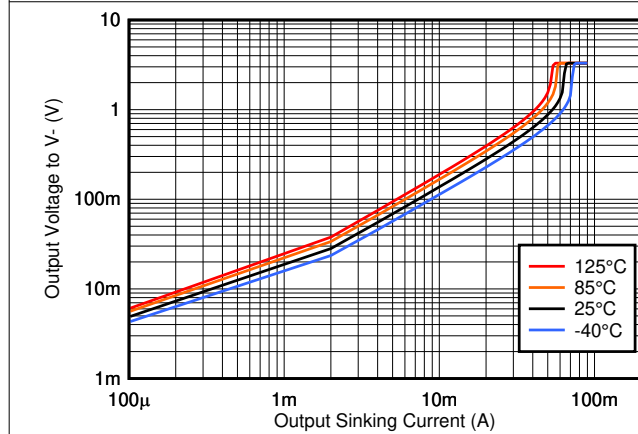


图 5-9. 输出灌电流与输出电压间的关系, 3.3V

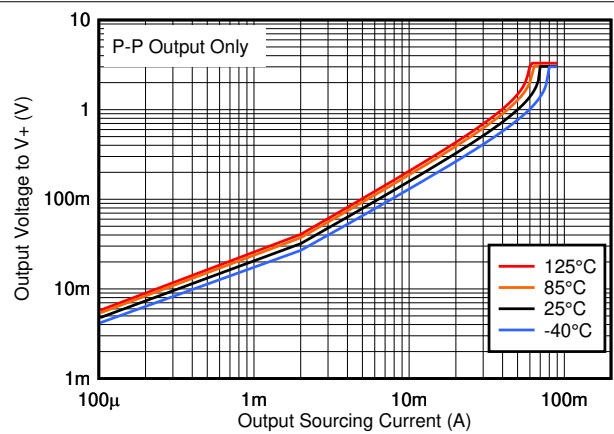


图 5-10. 输出拉电流与输出电压间的关系, 3.3V

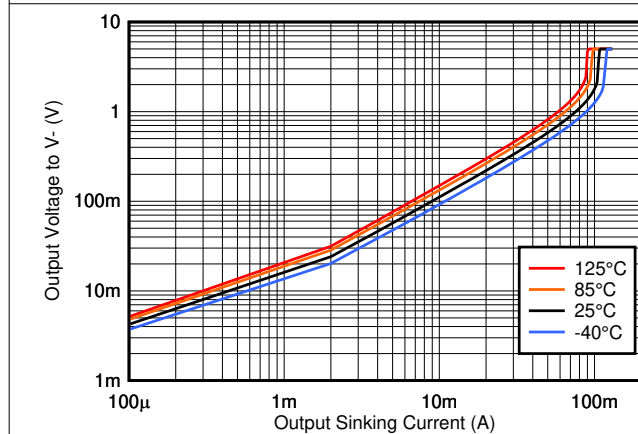


图 5-11. 输出灌电流与输出电压间的关系, 5V

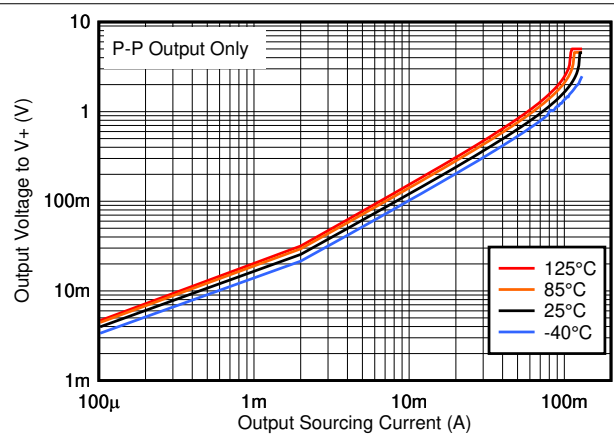


图 5-12. 输出拉电流与输出电压间的关系, 5V

5.8 典型特性 (续)

$T_A = 25^\circ\text{C}$, $V_S = 5\text{V}$, $R_{PULLUP} = 5.1\text{k}$ 至 5V (仅限推挽), $C_L = 15\text{pF}$, $V_{CM} = 0\text{V}$, $V_{UNDERDRIVE} = 100\text{mV}$, $V_{OVERDRIVE} = 100\text{mV}$ (除非另有说明)。

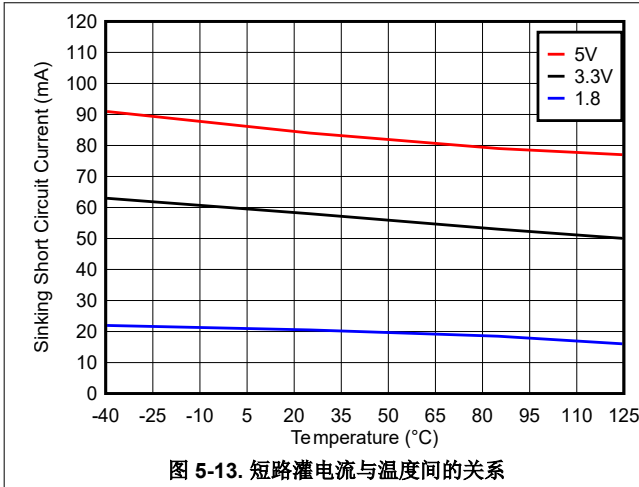


图 5-13. 短路灌电流与温度间的关系

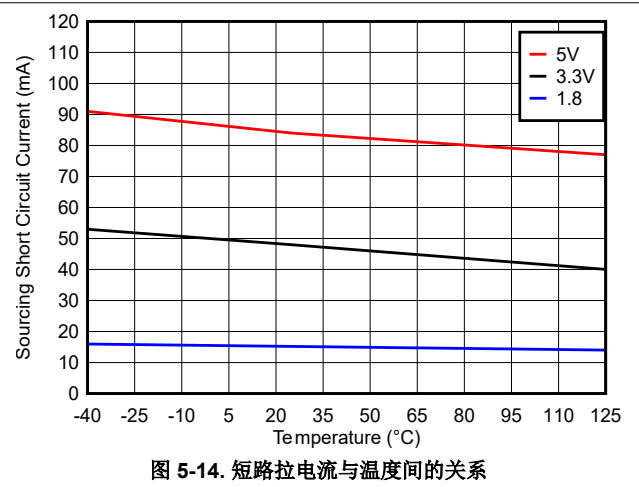


图 5-14. 短路拉电流与温度间的关系

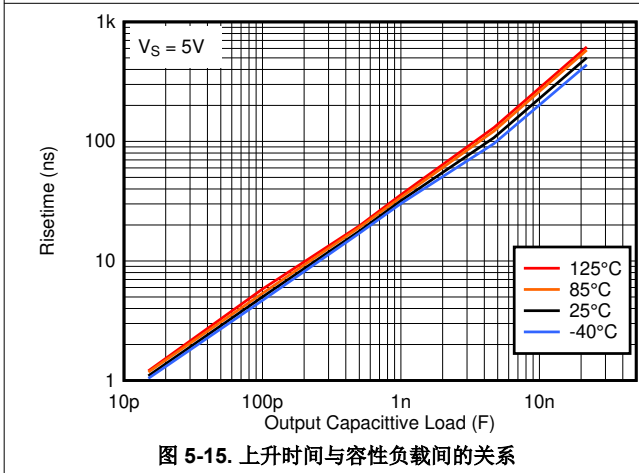


图 5-15. 上升时间与容性负载间的关系

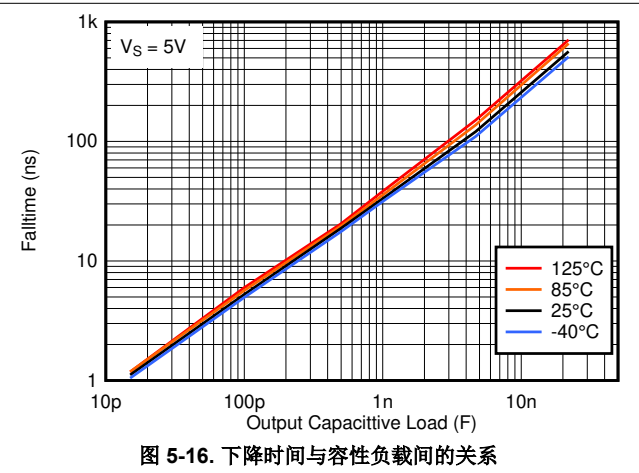


图 5-16. 下降时间与容性负载间的关系

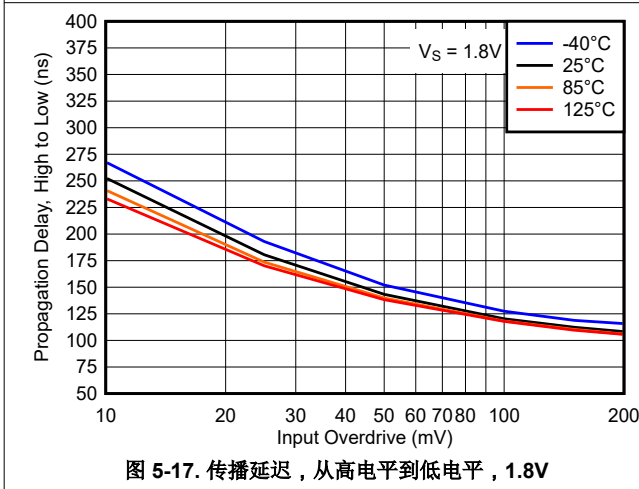


图 5-17. 传播延迟, 从高电平到低电平, 1.8V

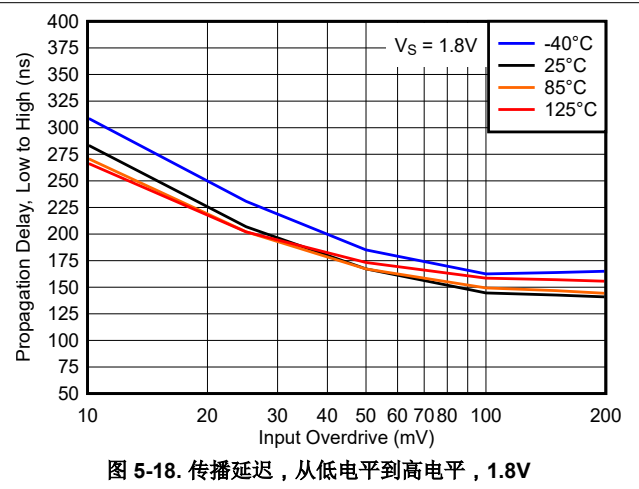


图 5-18. 传播延迟, 从低电平到高电平, 1.8V

5.8 典型特性 (续)

$T_A = 25^\circ\text{C}$, $V_S = 5\text{V}$, $R_{PULLUP} = 5.1\text{k}$ 至 5V (仅限推挽), $C_L = 15\text{pF}$, $V_{CM} = 0\text{V}$, $V_{UNDERDRIVE} = 100\text{mV}$, $V_{OVERDRIVE} = 100\text{mV}$ (除非另有说明)。

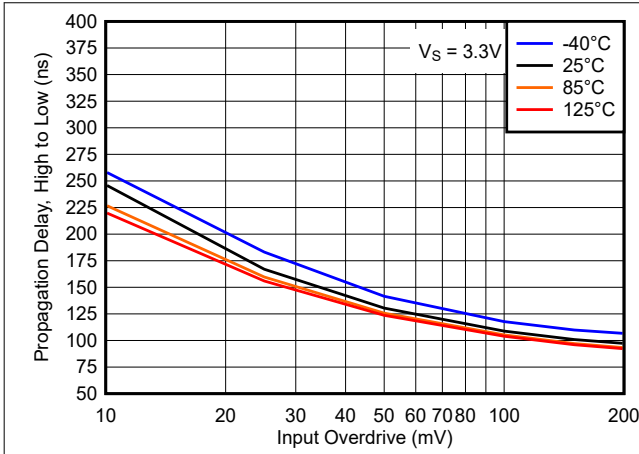


图 5-19. 传播延迟, 从高电平到低电平, 3.3V

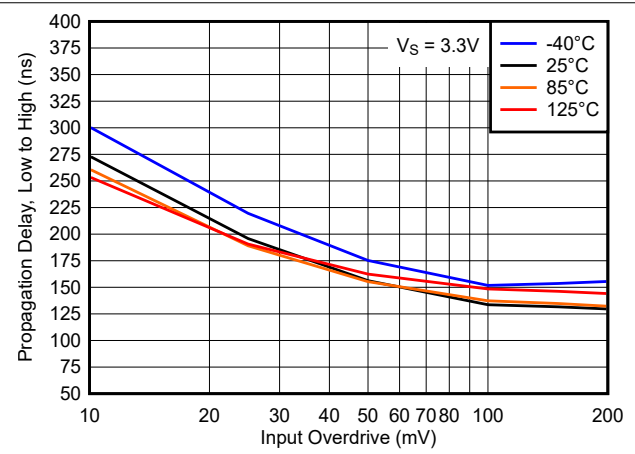


图 5-20. 传播延迟, 从低电平到高电平, 3.3V

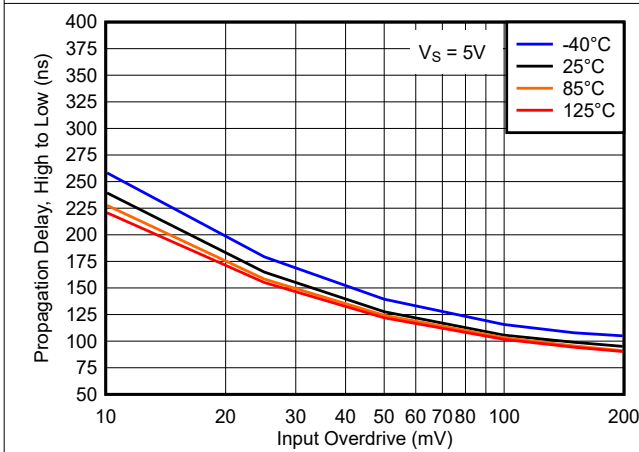


图 5-21. 传播延迟, 从高电平到低电平, 5V

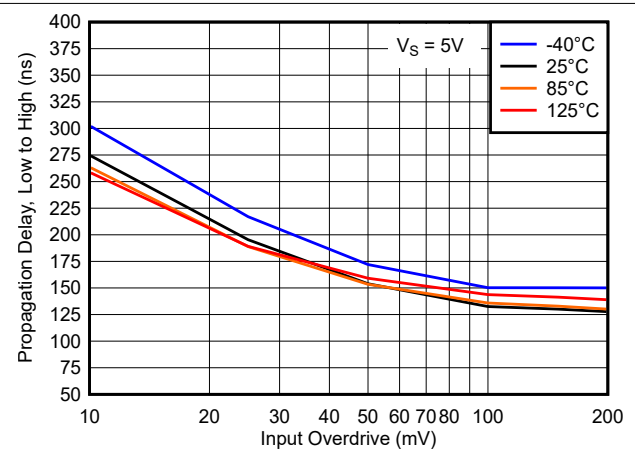


图 5-22. 传播延迟, 从低电平到高电平, 5V

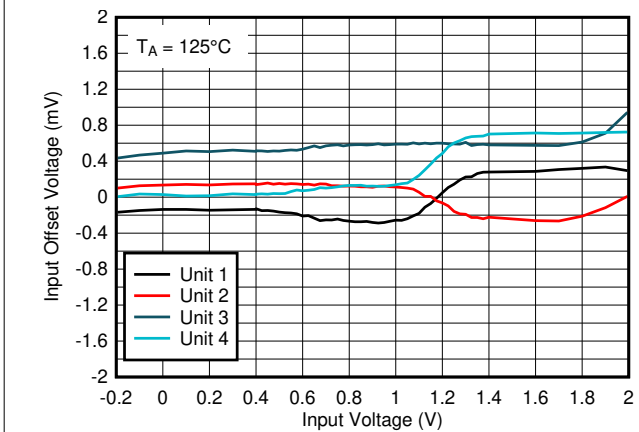


图 5-23. 125°C 时失调电压与输入电压间的关系, 1.8V

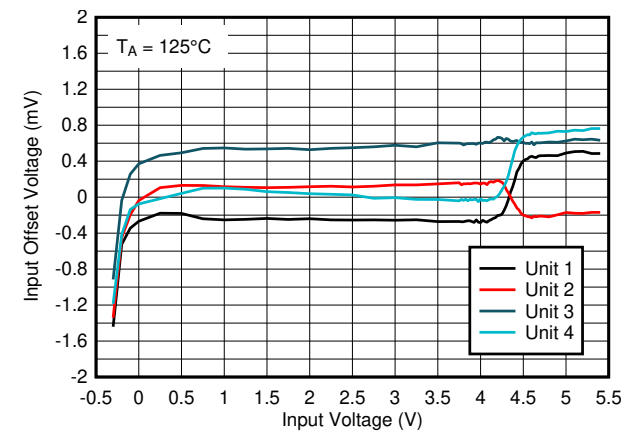


图 5-24. 125°C 时失调电压与输入电压间的关系, 5V

5.8 典型特性 (续)

$T_A = 25^\circ\text{C}$, $V_S = 5\text{V}$, $R_{\text{PULLUP}} = 5.1\text{k}$ 至 5V (仅限推挽), $C_L = 15\text{pF}$, $V_{\text{CM}} = 0\text{V}$, $V_{\text{UNDERDRIVE}} = 100\text{mV}$, $V_{\text{OVERDRIVE}} = 100\text{mV}$ (除非另有说明)。

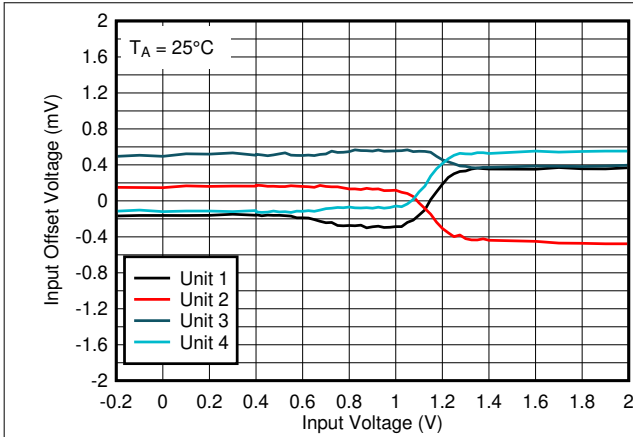


图 5-25. 25°C 时失调电压与输入电压间的关系, 1.8V

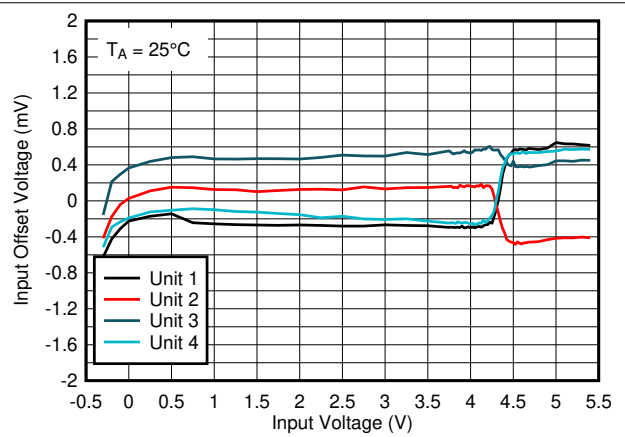


图 5-26. 25°C 时失调电压与输入电压间的关系, 5V

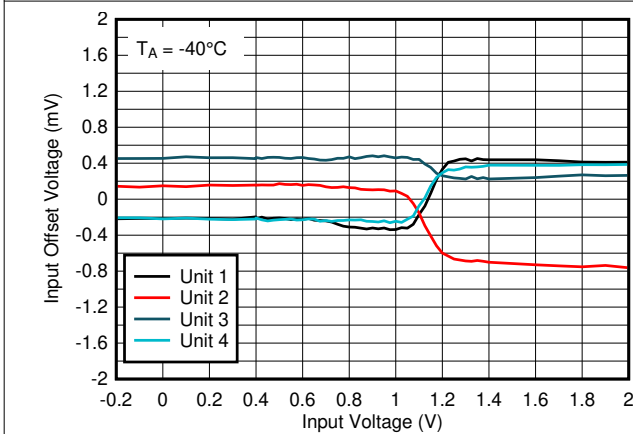


图 5-27. -40°C 时失调电压与输入电压间的关系, 1.8V

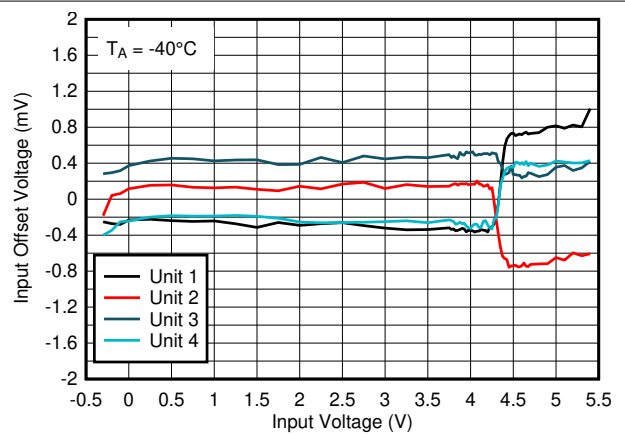


图 5-28. -40°C 时失调电压与输入电压间的关系, 5V

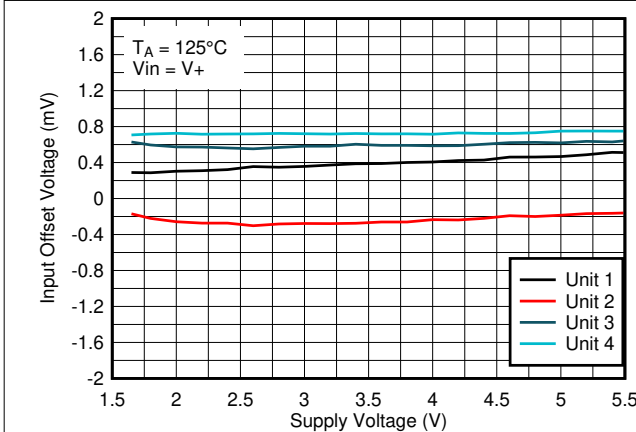


图 5-29. 125°C 时失调电压与电源电压间的关系, $V_{\text{IN}} = V^+$

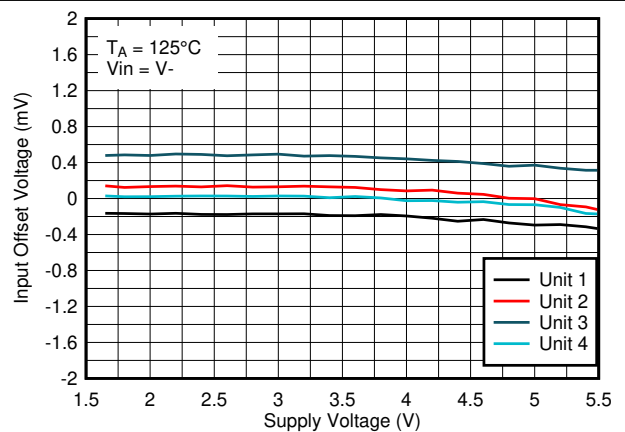


图 5-30. 125°C 时失调电压与电源电压间的关系, $V_{\text{IN}} = V^-$

5.8 典型特性 (续)

$T_A = 25^\circ\text{C}$, $V_S = 5\text{V}$, $R_{\text{PULLUP}} = 5.1\text{k}$ 至 5V (仅限推挽), $C_L = 15\text{pF}$, $V_{\text{CM}} = 0\text{V}$, $V_{\text{UNDERDRIVE}} = 100\text{mV}$, $V_{\text{OVERDRIVE}} = 100\text{mV}$ (除非另有说明)。

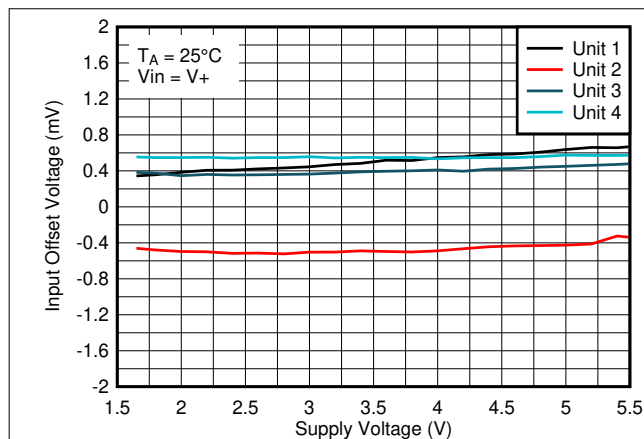


图 5-31. 25°C 时失调电压与电源电压间的关系, $V_{\text{IN}} = V+$

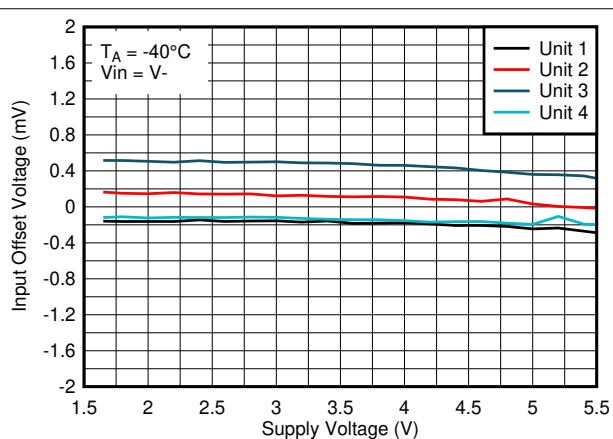


图 5-32. 25°C 时失调电压与电源电压间的关系, $V_{\text{IN}} = V-$

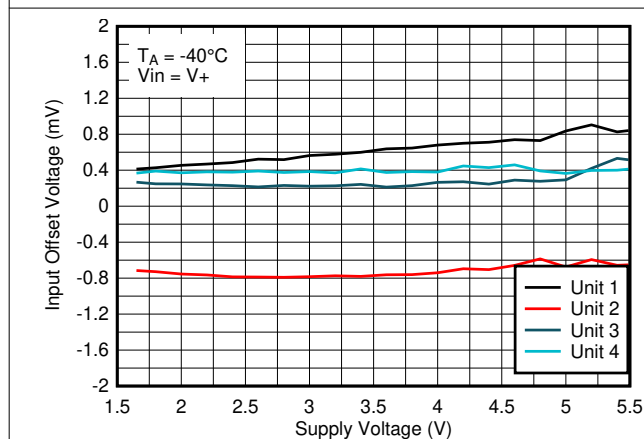


图 5-33. -40°C 时失调电压与电源电压间的关系, $V_{\text{IN}} = V+$

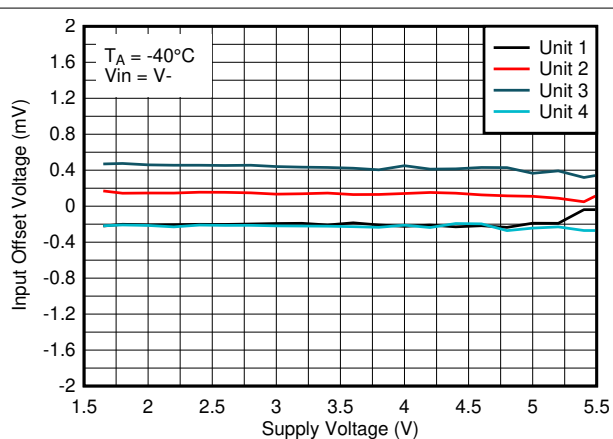


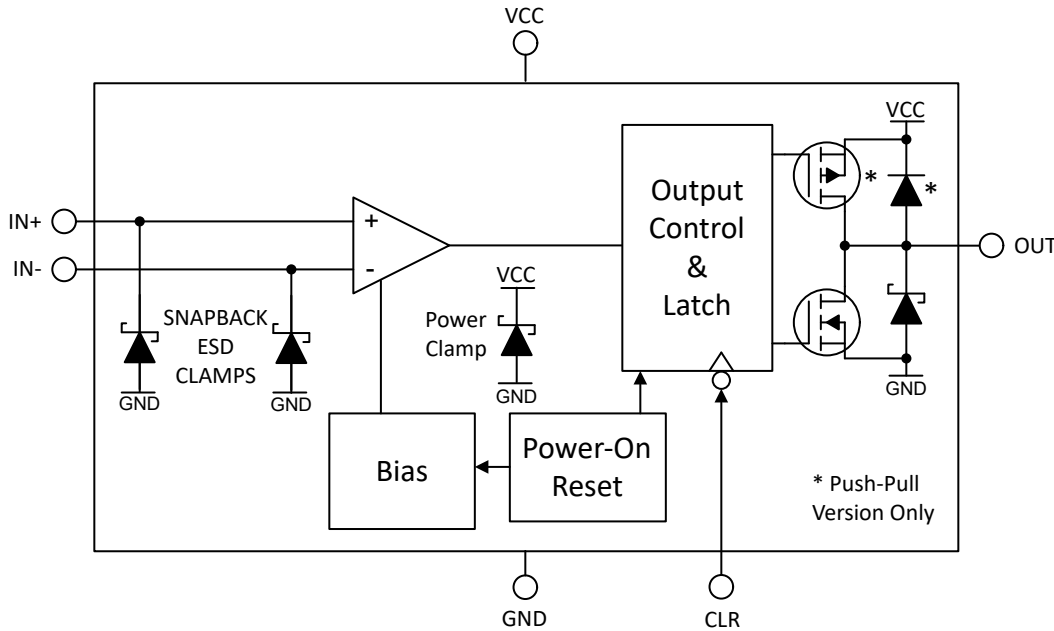
图 5-34. -40°C 时失调电压与电源电压间的关系, $V_{\text{IN}} = V-$

6 详细说明

6.1 概述

TLV902xL-Q1 和 TLV903xL-Q1 是单通道和双通道闩锁比较器系列。该系列提供低输入失调电压、上电复位 (POR)、容错输入和出色的速度功率比等特性组合，传播延迟为 110ns，每个通道的静态电源电流 22 μ A。

6.2 功能方框图



6.3 特性说明

TLV902xL-Q1 和 TLV903xL-Q1 的独特特性是输出闩锁能力。输出会在首次阈值跳变时闩锁，以便在没有系统控制器完全关注的情况下捕获事件或错误状态情况。这样可以在系统控制器仍在初始化期间捕获启动时的事件。系统控制器可以在执行任何所需的任务后，复位闩锁器。用户可以选择在上电时取消闩锁输出 (“L1” 选项) 或在上电时闩锁输出 (“L2” 选项)。

这些比较器还具有容错输入，容错输入电压可升至 6V 而不会造成损坏，也不会产生输出相位反转。因此，该系列的比较器适合在恶劣的嘈杂环境中进行精密电压监测。

6.4 器件功能模式

6.4.1 输出

6.4.1.1 TLV902xL-Q1 开漏输出

TLV902xL-Q1 具有一个仅灌入的开漏 (通常也被称为集电极开路) 输出级, 可将输出逻辑电平上拉至任意最高 5.5V 的电压, 而不受比较器电源电压 (V_S) 的影响。该开漏输出还允许对多个开漏输出进行逻辑或运算和逻辑电平转换。

TI 建议将上拉电阻器电流设置为 100 μ A 至 1mA。较低的上拉电阻值有助于缩短上升沿的上升时间, 但代价是增加 V_{OL} 和功耗。上升时间将取决于总上拉电阻和总负载电容的时间常数。大阻值上拉电阻 (>1M Ω) 将在 RC 时间常数的影响下产生指数上升沿并增加上升时间。

未使用的开漏输出可以保持悬空, 如果不允许使用悬空引脚, 则可以连接到 V- 引脚。

开漏输出保护电路是输出和 V- 之间的 ESD 钳位, 允许将输出拉至最高电压 5.5V, 即使上拉电压超过 V_S 。

6.4.1.2 TLV903xL-Q1 推挽输出

TLV903xL-Q1 具有推挽输出级, 既能灌入电流, 也能拉出电流。此功能允许驱动负载 (如 LED 和 MOSFET 栅极), 并且无需使用耗电的外部上拉电阻器, 并提供独立于电容负载的对称边沿速率。

推挽输出绝不能连接到另一个输出端。直接将输出与相反的电源短接会导致热失控, 并最终导致器件损坏。如果可能发生输出短路, 德州仪器 (TI) 建议使用串联限流电阻来限制功耗。

未使用的推挽输出必须保持悬空, 绝不能连接到电源、地面或任何其他输出端。

输出保护包括输出和 V- 之间的 ESD 箝位, 以及输出和 V+ 之间的 ESD 箝位, 因此输出不得超过任一电源轨。

6.4.2 上电复位 (POR)

TLV90xx-Q1 具有用于启动或断电条件已知的内部上电复位 (POR) 电路。当电源 (V_S) 上升或下降时, 一旦超过 V_{POR} (通常为 1.25V) 的最小电源电压阈值, POR 电路将激活长达 60 μ s (超温), 或在电源电压降至 V_{POR} 以下时立即激活。在 POR 周期期间, 输入条件会被忽略。当电源电压大于等于最小电源电压时, 经过延迟周期后, 比较器输出将反映差分输入的状态 (“L1” 选项), 或最初处于闩锁状态 (“L2” 选项)。

输入电平必须在 POR 周期结束之前稳定, 以防止过早闩锁。必须注意输入端的任何滤波或 RC 元件 (基准、分压器、旁路电容器等) 的时间常数。

开漏和推挽输出类型具有不同的 POR 和闩锁行为。下一节将说明这些差异。

6.4.2.1 TLV902xL-Q1 开漏输出 POR 行为

对于 TLV902xL1-Q1 开漏输出, POR 电路会在 POR 周期期间 (t_{ON}) 使输出保持高电平或高阻抗 (“HI-Z”)。

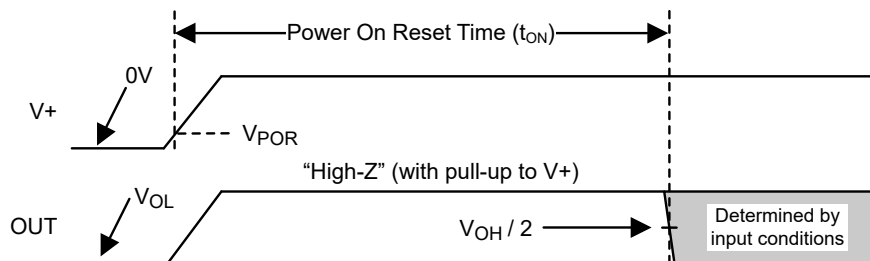


图 6-1. TLV902xL1-Q1 上电复位时序图示例

集电极开路输出的性质是, 在 POR 期间, 输出会随着上拉电压而上升。

TLV902xL2-Q1 选项从输出低电平到 POR 开始, 然后在 POR 后保持闩锁为低电平, 直到清除。

6.4.2.2 TLV903xL-Q1 推挽输出 POR 行为

对于 TLV903xL1-Q1 推挽输出，POR 电路会将输出保持为高阻态，既不能拉出电流，也不能灌入电流。在 POR 周期 (t_{ON}) 期间，输出可能在 $V+$ 和 $V-$ 之间随机“悬空”。轻上拉（至 $V+$ ）或下拉（至 $V-$ ）电阻器可用于对输出条件进行预偏置，以防止输出浮动。

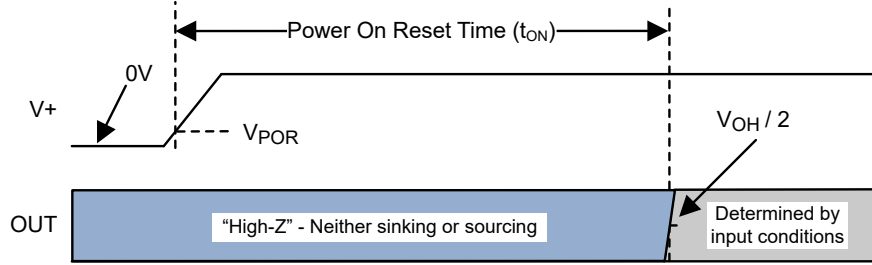


图 6-2. TLV903xL1-Q1 上电复位时序图示例

TLV903xL2-Q1 选项从输出高电平（拉出电流）开始，通过 POR，然后在 POR 后闩锁为高电平，直到清除。

6.4.3 输出闩锁

TLV90xxL-Q1 设有输出闩锁功能，在使能后，当输入转换首次穿越输入阈值时，输出状态会被闩锁。输出保持闩锁状态，直到出现 CLR 引脚的下降沿。

用户可以选择在上电时取消闩锁输出（“L1”选项）或在上电时闩锁输出（“L2”选项）。

开漏和推挽输出类型的闩锁行为不同。后续几节对这些行为进行了说明。

6.4.3.1 “L1”和“L2”上电选项

TLV90xxL-Q1 提供两个加电选项。

“L1”选项在输出处于取消闩锁状态时退出 POR，并为下一个闩锁事件使能。

“L2”选项在输出保持闩锁状态时退出 POR，并且必须通过 CLR 引脚上的高电平到低电平的转换清除，以便为下一个闩锁事件使能比较器。

下面的功能汇总表总结了这些行为。

表 6-1. 功能汇总

器件	输出类型	POR 周期期间的输出状态	POR 后的输出状态	已使能输出闩锁器开启：	输出闩锁条件
TLV902xL1-Q1	开漏	高	已使能	H → L	低
TLV902xL2-Q1	开漏	低	闩锁为低电平	H → L	低
TLV903xL1-Q1	推挽	高阻态	已使能	L → H	高
TLV903xL2-Q1	推挽	高	闩锁为高电平	L → H	高

请参阅以下部分，详细介绍了不同输出类型的闩锁状态行为。

6.4.3.2 TLV902xL1-Q1 开漏闩锁行为

TLV902xL1-Q1 开漏输出在 **POR 周期** 期间为高电平。在 POR 周期之后，闩锁器已启用并在第一次**高电平到低电平**输出转换时闩锁为**低电平**。以下是闩锁操作的概要。

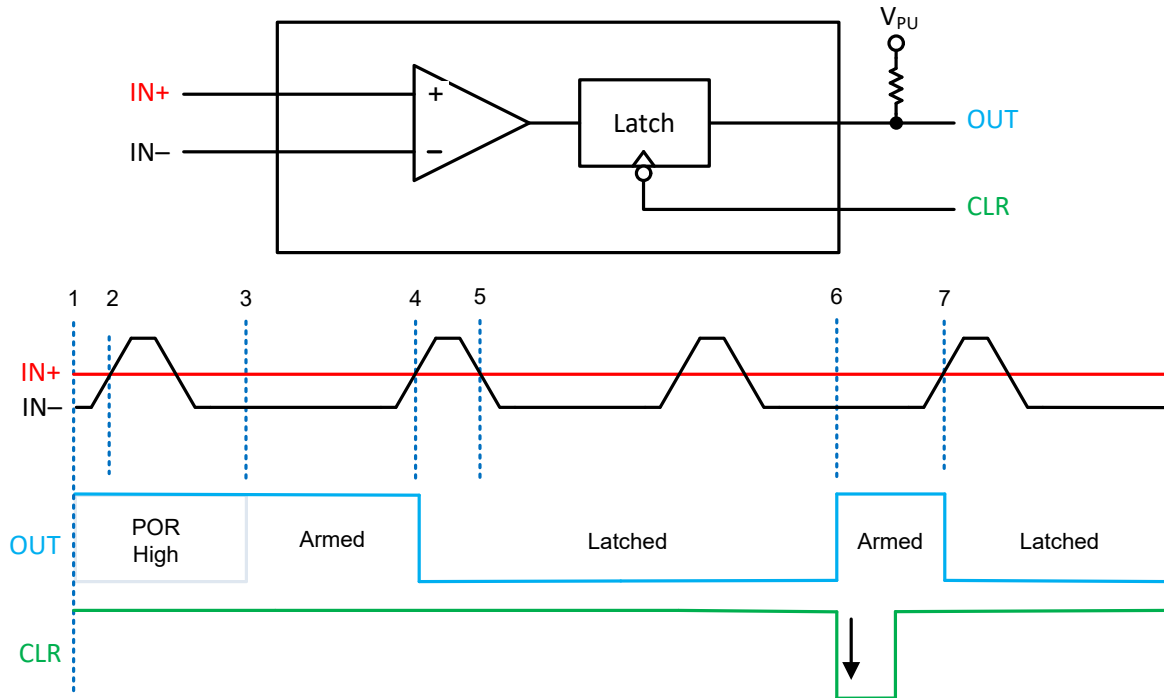


图 6-3. 开漏闩锁时序示例 (L1 选项)

1. 在首次上电时的 POR 周期期间，输出为高电平。
2. 在 POR 周期期间，忽略输入转换。
3. 在 POR 周期之后，使能比较器并监控输入。
4. IN- 现在高于 IN+，设置输出为低电平并闩锁为低电平。
5. IN+ 大于 IN-，但输出仍保持低电平（闩锁）。
6. CLR 下降沿针对下一次转换复位闩锁器。IN+ > IN-，输出保持为高电平，为下一次输入转换使能。
7. IN- > IN+，将输出端置于低电平并再次闩锁。即使在 IN+ > IN- 时，输出也保持闩锁。

6.4.3.3 TLV902xL2-Q1 开漏闩锁行为

TLV902xL2-Q1 开漏输出在 POR 周期期间闩锁为低电平。POR 周期之后，输出闩锁为低电平，并且必须通过 CLR 引脚上的高电平到低电平转换来清除。以下是闩锁操作的概要。

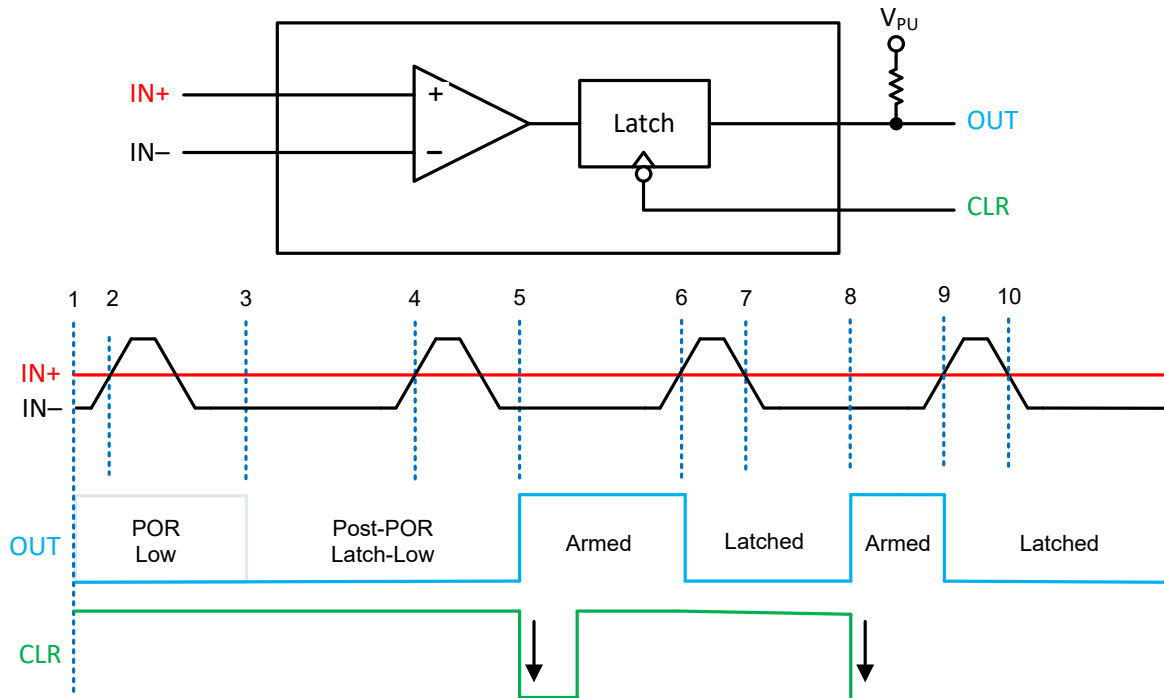


图 6-4. 开漏闩锁时序示例 (L2 选项)

以下是闩锁操作的概要。

1. 在首次上电后的 POR 周期期间，输出为低电平。
2. 在 POR 周期期间，忽略输入转换。
3. 在 POR 周期之后，OUT 保持闩锁为低电平。
4. IN- 通过传递 IN+，但在闩锁期间忽略转换。
5. CLR 下降沿复位且使能闩锁，等待下一次转换。
6. IN- > IN+，所以 OUT 变为低电平并闩锁。
7. IN+ > IN-，但 OUT 保持闩锁为低电平。
8. CLR 下降沿复位，并为下一次转换使能闩锁。
9. IN- 跨越 IN+，输出变为低电平并再次闩锁。
10. 即使在 IN+ > IN- 时，输出也保持闩锁为低电平。

6.4.3.4 TLV903xL1-Q1 推挽闩锁行为

TLV903xL1-Q1 推挽输出在 **POR 周期** 期间为**高阻态**（既不灌入电流，也不拉出电流）。在 POR 周期之后，闩锁器已使能并在第一次从低电平到高电平输出转换时**闩锁为高电平**。

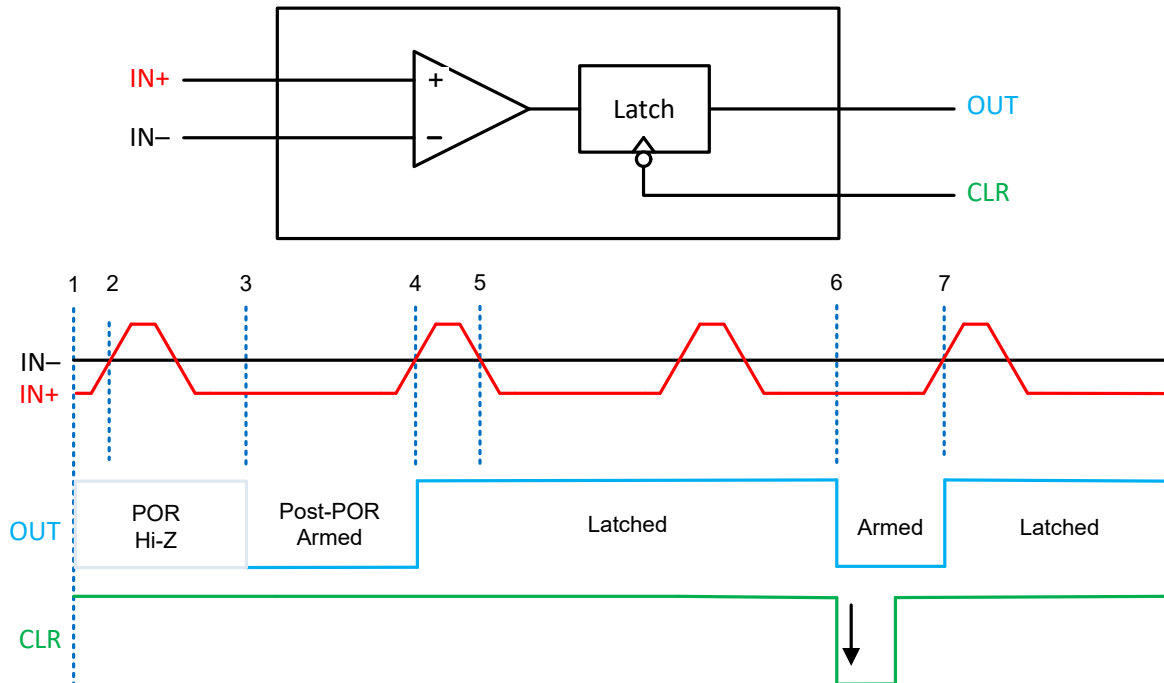


图 6-5. 推挽闩锁时序示例 (L1 选项)

以下是闩锁操作的概要。

1. 在首次上电时的 **POR 周期** 期间，输出为高阻态。
2. 在 **POR 周期** 期间，忽略输入转换。
3. 在 **POR 周期** 之后，使能比较器并监控输入。
4. $IN+$ 现在高于 $IN-$ ，设置输出高电平并闩锁为高电平。
5. $IN-$ 大于 $IN+$ ，但输出仍保持高电平（闩锁）。
6. **CLR** 下降沿针对下一次转换复位闩锁器。 $IN- > IN+$ ，输出保持低电平，为下一次输入转换使能。
7. $IN+ > IN-$ ，将输出端置于低电平并再次闩锁。即使在 $IN- > IN+$ 时，输出仍保持闩锁。

6.4.3.5 TLV903xL2-Q1 推挽闩锁行为

TLV903xL2-Q1 推挽输出在 POR 周期期间闩锁为高电平（拉电流）。POR 周期之后，输出闩锁为高电平，并且必须通过 CLR 引脚上的高电平到低电平转换来清除。

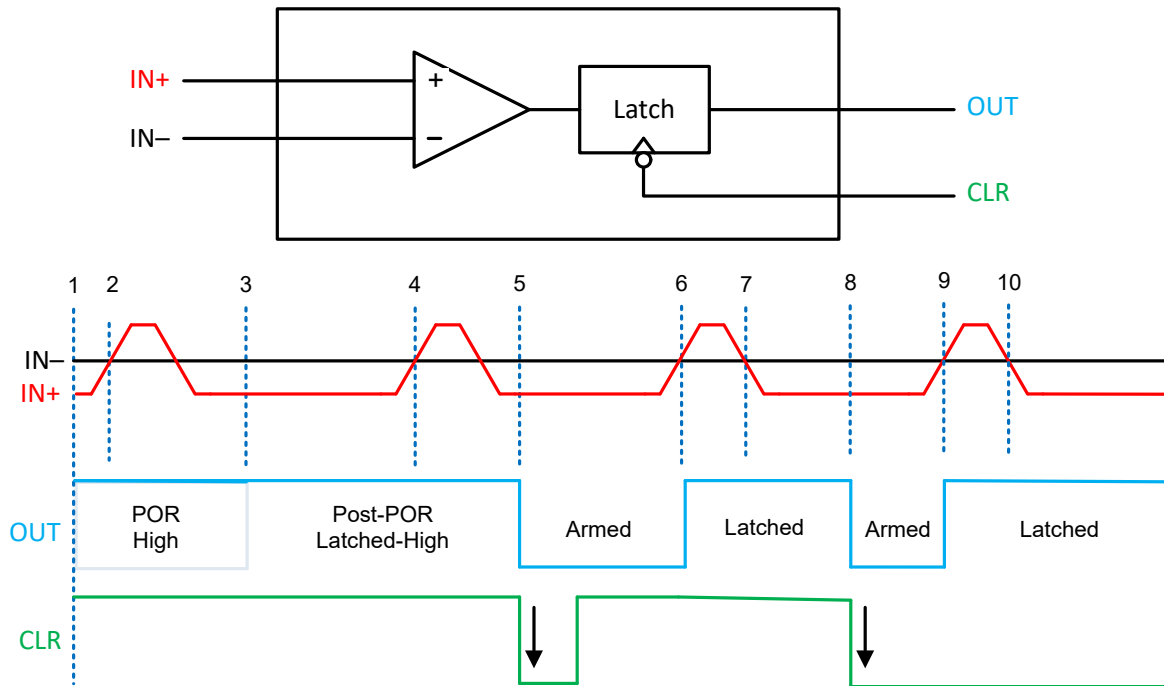


图 6-6. 推挽闩锁时序示例 (L2 选项)

以下是闩锁操作的概要。

1. 在首次上电后的 POR 周期期间，输出为高电平。
2. 在 POR 周期期间，忽略输入转换。
3. 在 POR 周期之后，OUT 闩锁为高电平。
4. IN+ 通过 IN-，但在闩锁期间忽略转换。
5. CLR 下降沿复位且使能闩锁，等待下一次转换。
6. IN+ > IN-，所以 OUT 变为高电平并闩锁。
7. IN- > IN+，但 OUT 保持闩锁为高电平。
8. CLR 下降沿复位，并为下一次转换使能闩锁。
9. IN+ 跨越 IN-，输出变为高电平并再次闩锁。
10. 即使在 IN- > IN+ 时，输出也保持闩锁为高电平。

6.4.3.6 清零 (CLR) 输入

当 CLR 为高电平或低电平时，比较器不处于闩锁状态，比较器处于活动状态（“已使能”）并响应输入条件，为下一个限定条件闩锁做好准备。

CLR 输入仅在 CLR 输入的高电平到低电平（下降）沿清除输出闩锁。然后，比较器在清除后处于活动状态（已使能），直到发生下一个闩锁条件事件。

通过使用下降沿触发复位，CLR 引脚可以稳定处于高电平或低电平，从而防止硬件或软件故障锁定比较器，并满足安全关键型设计要求。

如果 CLR 引脚在比较器输出转换的同时转换（下降），则可能会发生设置时间争用。在 CLR 下降沿时间期间，输出状态为不确定。建议尽可能快地使 CLR 下降沿免受这种争用的影响（下降时间 <100ns）。

CLR 引脚具有失效防护（即“5V 兼容”输入）功能，可接受高达 5V 的逻辑高电平，与比较器电源电压无关。逻辑高电平 (VOH) 阈值为 1.2V。

CLR 输入端还具有 200nA 的有源下拉电流，用于确保 CLR 引脚在启动期间为低电平且比较器处于活动状态。即使有此下拉电流电阻，也不建议将 CLR 输入悬空。

6.4.4 输入

6.4.4.1 轨至轨输入

TLV90xxL-Q1 的输入电压范围为从 (V-) - 200mV 到 (V+) + 200mV。差分输入电压 (V_{ID}) 可以是上述范围内的任何电压。当输入引脚的电压高于 V+ 或低于 V- 时，比较器输出不会发生相位反转。

6.4.4.2 失效防护输入

TLV90xxL-Q1 输入与 V_S 无关，可容错高达 5.5V。容错定义为当 V_S 未上电或在建议的工作范围内时保持相同的高输入阻抗。

容错输入可以是 0V 至 5.5V 之间的任意值，即使在 V_S 为零或上升/下降时也是如此。只要输入电压范围和电源电压在最大指定范围内，该特性就能够避免电源时序问题。之所以如此，是因为输入未钳位到 V+，即使在输入端施加更高电压，输入电流也会保持高阻抗。

只要其中一个输入引脚保持在有效输入范围内，并且电源电压有效，不处于 POR 状态，输出状态就是正确的。

以下是输入电压偏移及其输出的汇总：

1. 当 IN- 和 IN+ 都在指定的输入电压范围内时：
 - a. 如果 IN- 高于 IN+ 和失调电压，则输出为低电平。
 - b. 如果 IN- 低于 IN+ 和失调电压，则输出为高电平。
2. 当 IN- 高于指定的输入电压范围，而 IN+ 在指定的电压范围内时，输出为低电平。
3. 当 IN+ 高于指定的输入电压范围，而 IN- 在指定的输入电压范围内时，输出为高电平
4. 当 IN- 和 IN+ 均不在指定的输入电压范围内时，输出为**不确定**（随机）。*请勿*在此区域中运行。输出可以随机翻转。

即使具有容错特性，TI 也**强烈**建议在系统正常运行期间，将输入保持在指定的输入电压范围内，以符合数据表规格。不在指定的输入范围内运行可能会导致规格发生变化（如传播延迟和输入偏置电流），从而导致不可预测的行为。

6.4.4.3 输入保护

TLV90xxL-Q1 系列在所有引脚上均整合了内部 ESD 保护电路。输入端在每个引脚到 V- 之间使用专用的“快速复位”型 ESD 钳位。V+ 没有“上部”ESD 箝位，允许输入引脚以超过电源电压 (V+)。在 ESD 事件期间，快速复位二极管会发生“短路”，并呈现低阻抗至 V-（与 SCR 类似）。

如果输入端要连接到低阻抗源（如电源或缓冲基准线），TI 建议添加一个与输入端串联的限流电阻，以限制钳位因瞬态导通时的任何瞬态电流。必须将电流限制在 10mA 或以下。该串联电阻可以是任何电阻输入分压器或网络的一部分。

ESD 二极管无法钳制上电压。ESD 钳位不会像齐纳二极管那样“保持”在固定的最大电压。如果输入连接到可能超过 5.5V 的电源，则需要外部钳位以防止超过最大输入电压。

对于 V+ 和 V- 之间的输入电压，输入偏置电流通常为 5pA。温度每升高 10°C，输入偏置电流通常增加一倍。

6.4.4.4 内部迟滞

TLV90xxL-Q1 没有内置迟滞。输出在第一次输出转换时会闩锁，因此闩锁功能无需迟滞。基准电平必须设置为所需的阈值电平，并且输入信号经过良好滤波，以消除任何可能导致早期触发的噪声或瞬态。

6.4.4.5 未使用的输入

如果不使用通道，*请勿*将输入端连接在一起。由于存在高等效带宽和低失调电压，将输入端直接连接在一起会导致高频振荡，因为器件会触发内部宽带噪声。必须将输入端连接到处于指定输入电压范围内并提供至少 50mV 差分电压的任何可用电压。例如，一个输入可以接地，另一个输入可以连接到基准电压，甚至连接到 (V+)。

7 应用和实例

备注

以下应用部分中的信息不属于 TI 元件规格，TI 不担保其准确性和完整性。TI 的客户应负责确定各元件是否适用于其应用。客户应验证并测试其设计是否能够实现，以确保系统功能。

7.1 应用信息

7.1.1 基本的比较器定义

7.1.1.1 运行

基本比较器将一个输入端上的输入电压 (V_{IN}) 与另一输入端上的基准电压 (V_{REF}) 进行比较。在下面的 图 7-1 示例中，如果 V_{IN} 小于 V_{REF} ，则输出电压 (V_O) 为逻辑低电平 (V_{OL})。如果 V_{IN} 大于 V_{REF} ，则输出电压 (V_O) 为逻辑高电平 (V_{OH})。表 7-1 总结了输出条件。只需交换输入引脚，即可反转输出逻辑。

表 7-1. 输出条件

输入条件	输出
$IN+ > IN-$	高 (V_{OH})
$IN+ = IN-$	不确定
$IN+ < IN-$	低 (V_{OL})

7.1.1.2 传播延迟

在输入超过基准电压和输出响应之间存在一定的延迟，这种延迟称为传播延迟。输入从高电平转换为低电平和从低电平转换为高电平时，传播延迟可能不同。如 图 7-1 中的 t_{pLH} 和 t_{pHL} 所示，从输入的中点到输出的中点进行测量。

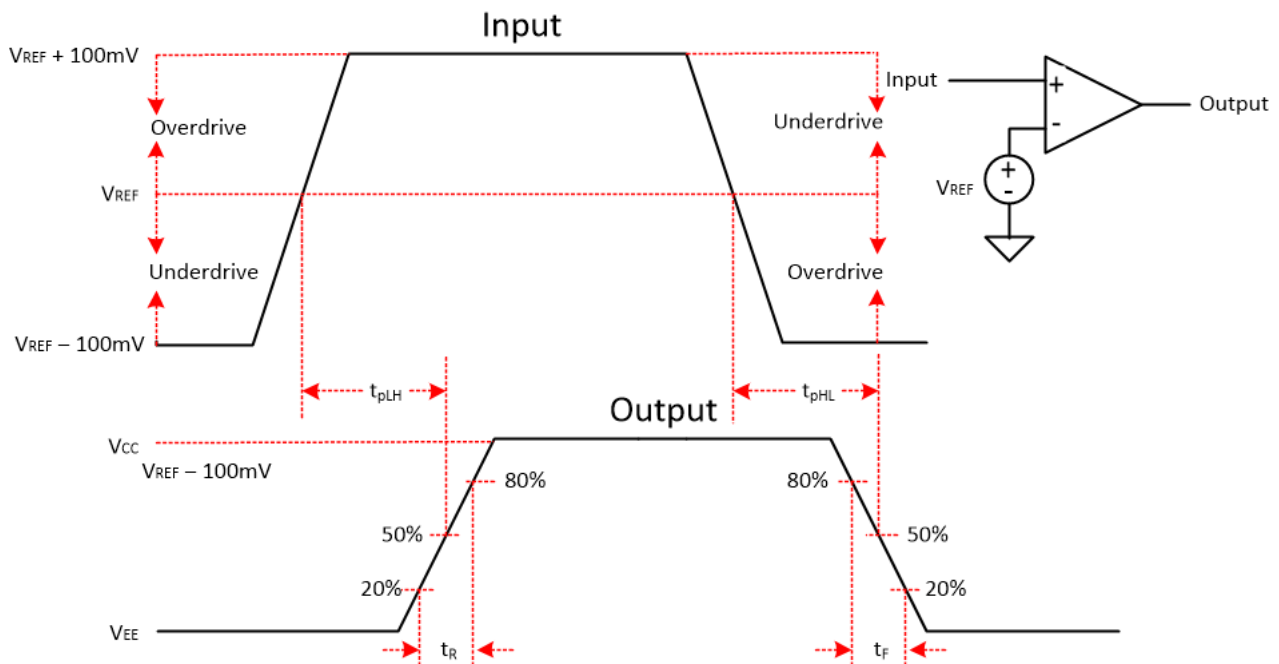


图 7-1. 比较器时序图

7.1.1.3 过驱电压

过驱电压 V_{OD} 是超出基准电压的输入电压（而不是总输入峰峰值电压）。如 图 7-1 示例所示，过驱电压为 100mV。过驱电压会影响传播延迟 (t_p)。过驱电压越小，传播延迟越长，尤其在 $< 100\text{mV}$ 时。如果需要非常快的速度，使用尽可能大的过驱电压。

上升时间 (t_r) 和下降时间 (t_f) 是从输出波形的 20% 和 80% 点开始的时间。

7.2 典型应用

7.2.1 窗口比较器

窗口比较器通常用于检测欠压和过压情况。图 7-2 显示了一个简单的窗口比较器电路。如果输出端直接连接在一起，则窗口比较器需要开漏输出 (TLV902xL1-Q1)。

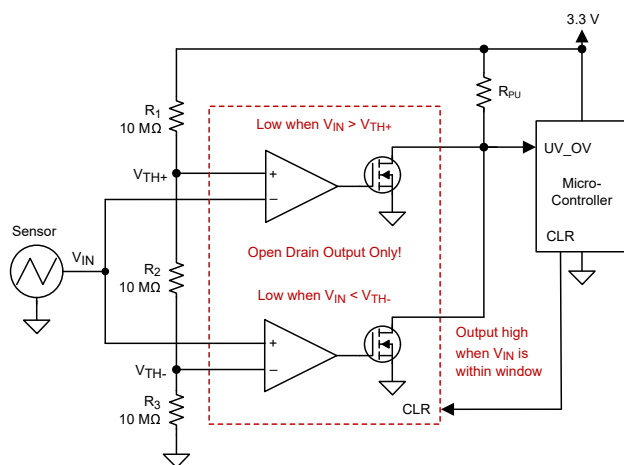


图 7-2. 采用 TLV9022L1-Q1 的窗口比较器

7.2.1.1 设计要求

对于此设计，请遵循以下设计要求：

- 当输入信号低于 1.1V 时闩锁（逻辑低电平输出）
- 当输入信号高于 2.2V 时闩锁（逻辑低电平输出）
- 使用 3.3V 电源供电

7.2.1.2 详细设计过程

如图 7-2 所示配置电路。使 R_1 、 R_2 和 R_3 电阻器各为 $10\text{M}\Omega$ 。这三个电阻器用于创建窗口比较器的正阈值和负阈值 (V_{TH+} 和 V_{TH-})。

每个电阻相等时， V_{TH+} 为 2.2V 且 V_{TH-} 为 1.1V。 $10\text{M}\Omega$ 等大电阻值可更大限度地降低功耗。可以重新计算电阻值以在跳变点提供所需的值。

传感器输出电压施加到两个比较器的反相和同相输入端。使用两个开漏输出比较器可将两个比较器输出以“线或” (Wire-OR) 方式连接在一起。

当传感器小于 1.1V 或大于 2.2V 时，相应的比较器输出闩锁为低电平。如图 7-3 所示，当传感器在 1.1V 至 2.2V 范围内（在“窗口”内）时，相应的比较器输出为高电平。

CLR 引脚必须从高电平切换到低电平才能复位输出并使能比较器。

7.2.1.3 应用曲线

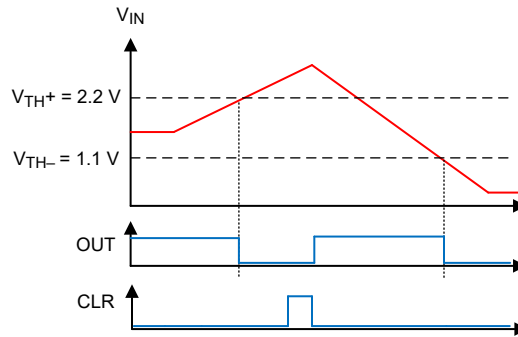


图 7-3. 窗口比较器结果

如需了解更多信息，请参阅 [窗口比较器电路模拟工程师电路](#)。

7.3 电源相关建议

由于存在快速输出边沿，务必在电源引脚上安装旁路电容器以防止电源发生振铃和误触发以及振荡。在 (V+) 引脚和接地引脚之间直接放一个低 ESR 0.1 μ F 陶瓷旁路电容器，直接在每个器件上实现电源旁路。输出转换期间会汲取窄峰值电流，特别是对于推挽输出器件而言。这些窄脉冲会导致电源线未被旁路和不良的接地振铃，可能会导致输入电压范围发生变化并产生不准确的比较，甚至造成振荡。

该器件可由“双”电源 (V+) 和 (V-)) 或“单”电源 (V+) 和 GND, GND 连接 (V-) 引脚) 供电。对于任一类型，输入信号必须保持在建议的输入范围内。请注意，使用“双”电源时，输出现在将“低电平” (VOL) 摆动到 (V-) 电位而不是摆动到 GND。

7.4 布局

7.4.1 布局指南

在应用精确比较器时，需要保持电源稳定且将噪声和干扰降至最低。输出上升和下降时间为几十纳秒，必须被视为高速逻辑器件。旁路电容器必须尽可能靠近电源引脚放置并连接到实心接地层，最好直接放在 (V+) 与 GND 引脚之间。

尽量减少输出和输入之间的耦合，以防止输出振荡。除非输出之间存在 (V+) 或 GND 布线，否则请勿并行布置输出和输入布线，以减少耦合。向输入端添加串联电阻时，将电阻器放在靠近器件的位置。还可以在输出端串联一个低阻值 (<100 Ω) 电阻，以抑制非阻抗控制的长迹线上出现任何振铃或反射。为获得理想边沿形状，在进行长距离布线时必须使用带有反向终端的受控阻抗迹线。

7.4.2 布局示例

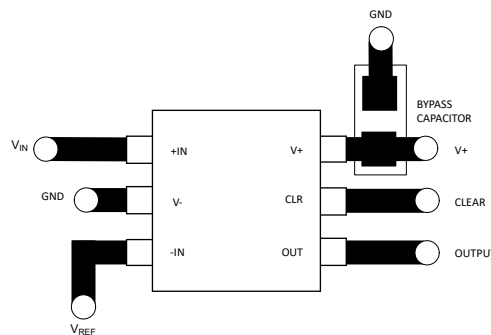


图 7-4. 单个布局示例

8 器件和文档支持

8.1 文档支持

8.1.1 相关文档

- 德州仪器 (TI), [模拟工程师电路设计指导手册：放大器 \(请参阅“比较器”一节\) 电子书](#)
- 德州仪器 (TI), [四通道独立运行比较器应用手册](#)
- 德州仪器 (TI), [具有/不具有迟滞功能的比较器电路 模拟工程师电路](#)
- 德州仪器 (TI), [精密设计，具有迟滞功能的比较器 设计指南](#)
- 德州仪器 (TI), [具有迟滞功能的反相比较器电路 应用简述](#)
- 德州仪器 (TI), [具有迟滞功能的非反相比较器电路 电路设计](#)
- 德州仪器 (TI), [窗口比较器电路模拟工程师电路](#)
- 德州仪器 (TI), [窗口比较器参考设计 设计指南](#)

8.2 接收文档更新通知

要接收文档更新通知，请导航至 [ti.com](https://www.ti.com) 上的器件产品文件夹。点击 [通知](#) 进行注册，即可每周接收产品信息更改摘要。有关更改的详细信息，请查看任何已修订文档中包含的修订历史记录。

8.3 支持资源

[TI E2E™ 中文支持论坛](#) 是工程师的重要参考资料，可直接从专家处获得快速、经过验证的解答和设计帮助。搜索现有解答或提出自己的问题，获得所需的快速设计帮助。

链接的内容由各个贡献者“按原样”提供。这些内容并不构成 TI 技术规范，并且不一定反映 TI 的观点；请参阅 TI 的 [使用条款](#)。

8.4 商标

TI E2E™ is a trademark of Texas Instruments.

所有商标均为其各自所有者的财产。

8.5 静电放电警告



静电放电 (ESD) 会损坏这个集成电路。德州仪器 (TI) 建议通过适当的预防措施处理所有集成电路。如果不遵守正确的处理和安装程序，可能会损坏集成电路。

ESD 的损坏小至导致微小的性能降级，大至整个器件故障。精密的集成电路可能更容易受到损坏，这是因为非常细微的参数更改都可能会导致器件与其发布的规格不相符。

8.6 术语表

[TI 术语表](#) 本术语表列出并解释了术语、首字母缩略词和定义。

9 修订历史记录

注：以前版本的页码可能与当前版本的页码不同

日期	修订版本	注释
December 2025	*	初始发行版

10 机械、封装和可订购信息

以下页面包含机械、封装和可订购信息。这些信息是指定器件可用的最新数据。数据如有变更，恕不另行通知，且不会对此文档进行修订。有关此数据表的浏览器版本，请查阅左侧的导航栏。

PACKAGING INFORMATION

Orderable part number	Status (1)	Material type (2)	Package Pins	Package qty Carrier	RoHS (3)	Lead finish/ Ball material (4)	MSL rating/ Peak reflow (5)	Op temp (°C)	Part marking (6)
TLV9020L1QDCKRQ1	Active	Production	SC70 (DCK) 6	3000 LARGE T&R	-	SN	Level-1-260C-UNLIM	-40 to 125	3R9H
TLV9030L1QDCKRQ1	Active	Production	SC70 (DCK) 6	3000 LARGE T&R	Yes	SN	Level-1-260C-UNLIM	-40 to 125	3R8H

(1) **Status:** For more details on status, see our [product life cycle](#).

(2) **Material type:** When designated, preproduction parts are prototypes/experimental devices, and are not yet approved or released for full production. Testing and final process, including without limitation quality assurance, reliability performance testing, and/or process qualification, may not yet be complete, and this item is subject to further changes or possible discontinuation. If available for ordering, purchases will be subject to an additional waiver at checkout, and are intended for early internal evaluation purposes only. These items are sold without warranties of any kind.

(3) **RoHS values:** Yes, No, RoHS Exempt. See the [TI RoHS Statement](#) for additional information and value definition.

(4) **Lead finish/Ball material:** Parts may have multiple material finish options. Finish options are separated by a vertical ruled line. Lead finish/Ball material values may wrap to two lines if the finish value exceeds the maximum column width.

(5) **MSL rating/Peak reflow:** The moisture sensitivity level ratings and peak solder (reflow) temperatures. In the event that a part has multiple moisture sensitivity ratings, only the lowest level per JEDEC standards is shown. Refer to the shipping label for the actual reflow temperature that will be used to mount the part to the printed circuit board.

(6) **Part marking:** There may be an additional marking, which relates to the logo, the lot trace code information, or the environmental category of the part.

Multiple part markings will be inside parentheses. Only one part marking contained in parentheses and separated by a "~" will appear on a part. If a line is indented then it is a continuation of the previous line and the two combined represent the entire part marking for that device.

Important Information and Disclaimer:The information provided on this page represents TI's knowledge and belief as of the date that it is provided. TI bases its knowledge and belief on information provided by third parties, and makes no representation or warranty as to the accuracy of such information. Efforts are underway to better integrate information from third parties. TI has taken and continues to take reasonable steps to provide representative and accurate information but may not have conducted destructive testing or chemical analysis on incoming materials and chemicals. TI and TI suppliers consider certain information to be proprietary, and thus CAS numbers and other limited information may not be available for release.

In no event shall TI's liability arising out of such information exceed the total purchase price of the TI part(s) at issue in this document sold by TI to Customer on an annual basis.

OTHER QUALIFIED VERSIONS OF TLV9020L-Q1, TLV9030L-Q1 :

- Catalog : [TLV9020L](#), [TLV9030L](#)

NOTE: Qualified Version Definitions:

- Catalog - TI's standard catalog product

TAPE AND REEL INFORMATION

QUADRANT ASSIGNMENTS FOR PIN 1 ORIENTATION IN TAPE


*All dimensions are nominal

Device	Package Type	Package Drawing	Pins	SPQ	Reel Diameter (mm)	Reel Width W1 (mm)	A0 (mm)	B0 (mm)	K0 (mm)	P1 (mm)	W (mm)	Pin1 Quadrant
TLV9020L1QDCKRQ1	SC70	DCK	6	3000	180.0	8.4	2.3	2.55	1.2	4.0	8.0	Q3
TLV9030L1QDCKRQ1	SC70	DCK	6	3000	180.0	8.4	2.3	2.55	1.2	4.0	8.0	Q3

TAPE AND REEL BOX DIMENSIONS


*All dimensions are nominal

Device	Package Type	Package Drawing	Pins	SPQ	Length (mm)	Width (mm)	Height (mm)
TLV9020L1QDCKRQ1	SC70	DCK	6	3000	210.0	185.0	35.0
TLV9030L1QDCKRQ1	SC70	DCK	6	3000	210.0	185.0	35.0

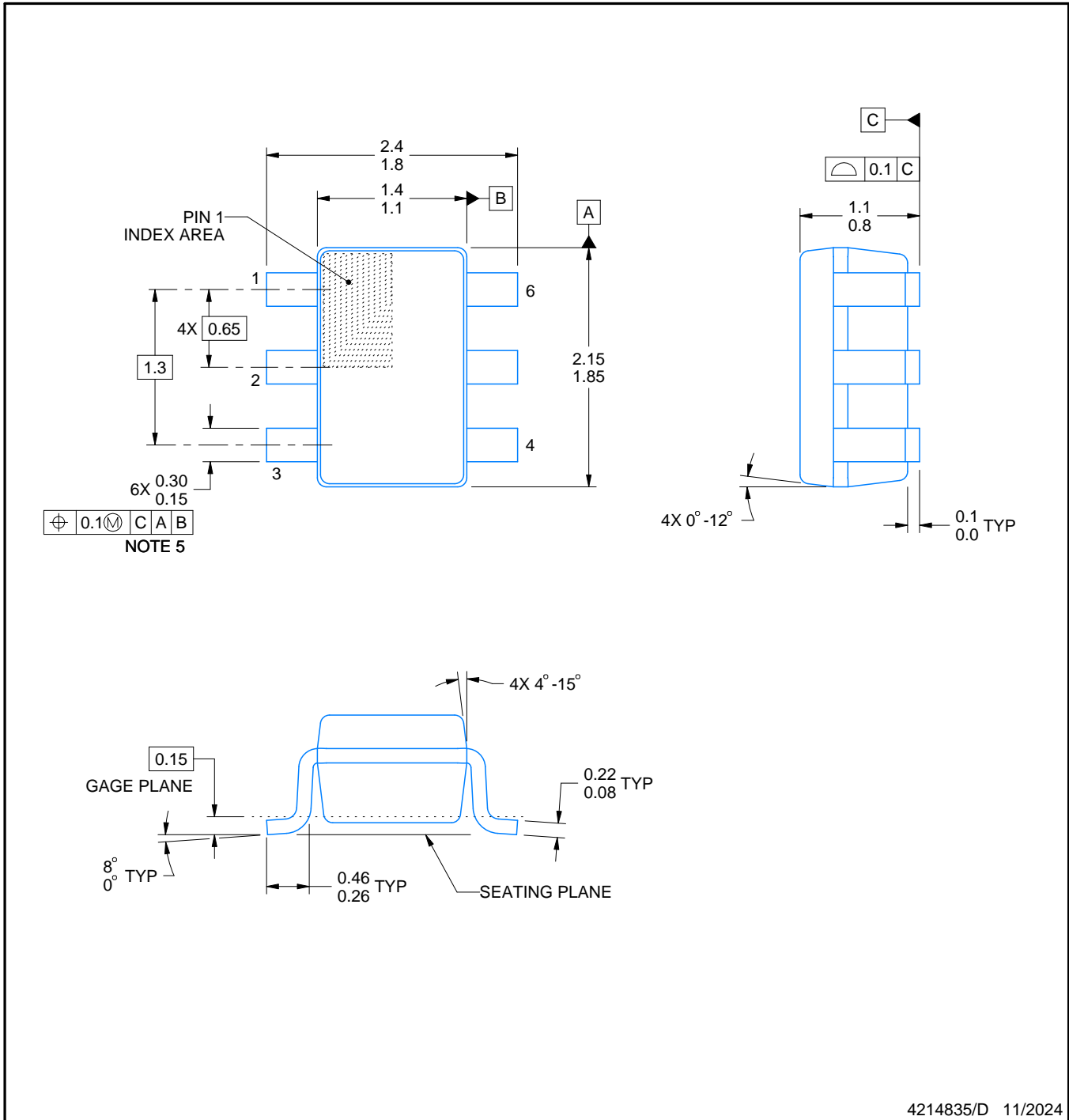
DCK0006A



PACKAGE OUTLINE

SOT - 1.1 max height

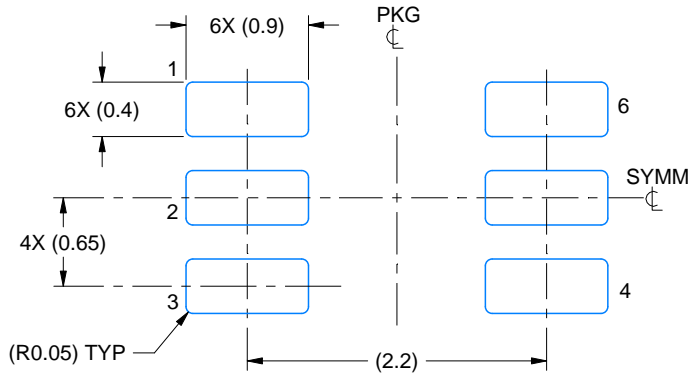
SMALL OUTLINE TRANSISTOR



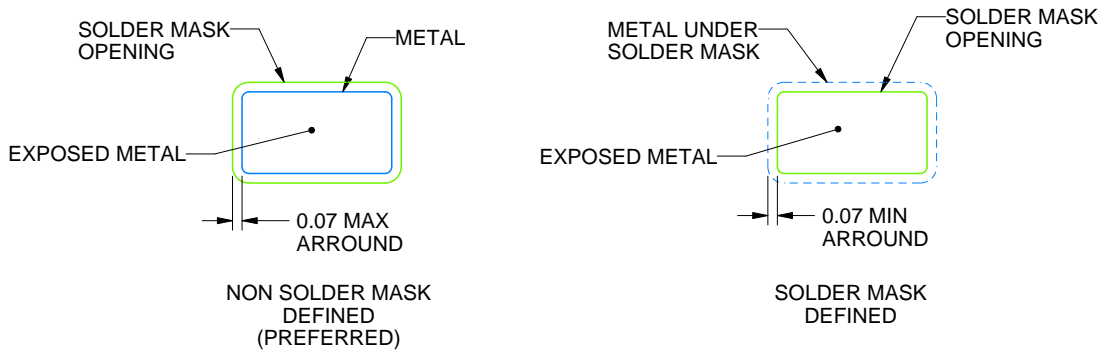
4214835/D 11/2024

NOTES:

1. All linear dimensions are in millimeters. Any dimensions in parenthesis are for reference only. Dimensioning and tolerancing per ASME Y14.5M.
2. This drawing is subject to change without notice.
3. Body dimensions do not include mold flash or protrusion. Mold flash and protrusion shall not exceed 0.15 per side.
4. Falls within JEDEC MO-203 variation AB.



LAND PATTERN EXAMPLE
EXPOSED METAL SHOWN
SCALE:18X

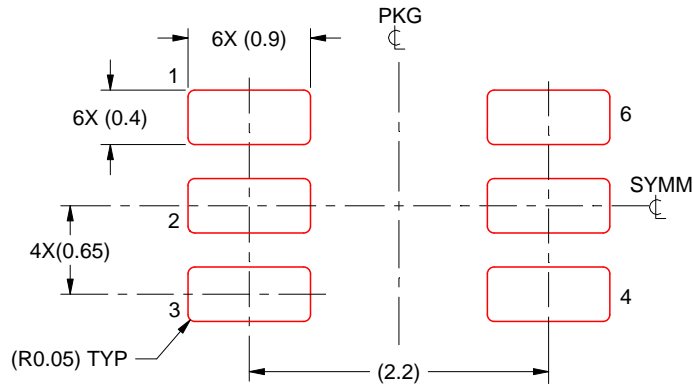


SOLDER MASK DETAILS

4214835/D 11/2024

NOTES: (continued)

- 5. Publication IPC-7351 may have alternate designs.
- 6. Solder mask tolerances between and around signal pads can vary based on board fabrication site.



SOLDER PASTE EXAMPLE
BASED ON 0.125 THICK STENCIL
SCALE:18X

4214835/D 11/2024

NOTES: (continued)

7. Laser cutting apertures with trapezoidal walls and rounded corners may offer better paste release. IPC-7525 may have alternate design recommendations.
8. Board assembly site may have different recommendations for stencil design.

重要通知和免责声明

TI“按原样”提供技术和可靠性数据（包括数据表）、设计资源（包括参考设计）、应用或其他设计建议、网络工具、安全信息和其他资源，不保证没有瑕疵且不做任何明示或暗示的担保，包括但不限于对适销性、与某特定用途的适用性或不侵犯任何第三方知识产权的暗示担保。

这些资源可供使用 TI 产品进行设计的熟练开发人员使用。您将自行承担以下全部责任：(1) 针对您的应用选择合适的 TI 产品，(2) 设计、验证并测试您的应用，(3) 确保您的应用满足相应标准以及任何其他安全、安保法规或其他要求。

这些资源如有变更，恕不另行通知。TI 授权您仅可将这些资源用于研发本资源所述的 TI 产品的相关应用。严禁以其他方式对这些资源进行复制或展示。您无权使用任何其他 TI 知识产权或任何第三方知识产权。对于因您对这些资源的使用而对 TI 及其代表造成的任何索赔、损害、成本、损失和债务，您将全额赔偿，TI 对此概不负责。

TI 提供的产品受 [TI 销售条款](#)、[TI 通用质量指南](#) 或 [ti.com](#) 上其他适用条款或 TI 产品随附的其他适用条款的约束。TI 提供这些资源并不会扩展或以其他方式更改 TI 针对 TI 产品发布的适用的担保或担保免责声明。除非德州仪器 (TI) 明确将某产品指定为定制产品或客户特定产品，否则其产品均为按确定价格收入目录的标准通用器件。

TI 反对并拒绝您可能提出的任何其他或不同的条款。

版权所有 © 2026，德州仪器 (TI) 公司

最后更新日期：2025 年 10 月